



VIS À BILLES

High Technology for Professionals

MTO & Co. AG

TABLE DES MATIÈRES

	Vis à billes	3
1.	Informations générales	4
1.1	Caractéristiques des vis à billes	4
1.2	Procédure de sélection des vis à billes	5
1.3.	Sélection de l'écrou	5
1.4.	Construction de l'écrou	5
1.5.	Précision	8
1.6.	Construction de la tige filetée	10
1.7.	Précision de positionnement	12
1.8.	Précautions d'emploi des vis à billes	13
1.9.	Graissage	13
1.10.	Protection anti-poussière / Prévention	14
1.11.	Charge décalée	14
1.12.	Assemblage des vis à billes	15
1.13.	Code nominal du modèle	16
2.	Classification des vis à billes	
2.1.		19
2.1.	Tableau des tailles pour les vis à billes SFA Tableau des tailles pour les vis à billes SFS	20
2.2.	Tableau des tailles pour les vis à billes DFS	21
2.3. 2.4.	Tableau des tailles pour les vis à billes SFU	22
2.4.	Tableau des tailles pour les vis à billes DFU	23
2.6.	Tableau des tailles pour les vis à billes SFK	24
2.7.	Tableau des tailles pour les vis à billes SFY	25
2.8.	Tableau des tailles pour les vis à billes SFDC	26
2.9.	Tableau des tailles pour les vis à billes DFDC	27
2.10.	Tableau des tailles pour les vis à billes SFI	28
2.11.	Tableau des tailles pour les vis à billes DFI	29
2.12.	Tableau des tailles pour les vis à billes SCI	30
	Unités de palier pour vis à billes	31

www.mtoswiss.ch 2 info@mtoswiss.ch

High Technology for Professionals

MTO & Co. AG

Vis à billes

Les vis à billes, également appelées vis à recirculation de billes, sont composées d'une vis, d'un écrou dans lequel les billes sont intégrées et d'un système de recirculation des billes.

Les vis à billes sont les vis les plus fréquemment utilisées dans les machines industrielles et de précision. Elles servent à convertir un mouvement de rotation en un mouvement longitudinal ou inversement..

Ils se distinguent par une grande précision et un rendement élevé.

Les vis à billes se caractérisent par un fonctionnement précis et à faible frottement, nécessitent un faible couple d'entraînement et offrent une grande rigidité avec un fonctionnement silencieux.

Les vis à billes sont disponibles en version roulée, tourbillonnée et rectifiée. Le produit optimal pour chaque application.

1. Informations générales

1.1. Caractéristiques des vis à billes

Grande fiabilité

Étant donné que des normes de contrôle de qualité strictes sont appliquées à chaque processus de production, une lubrification et une utilisation correctes permettent un fonctionnement sans problème pendant une longue période.

Fonctionnement sans heurts

Le rendement élevé des vis à billes est bien supérieur à celui des vis traditionnelles, comme le montre la figure 3.1.1. Moins de 30% de couple de rotation sont nécessaires pour transformer un mouvement linéaire en mouvement rotatif.

Rigidité et précharge élevées

Les vis à billes sont conçues avec une rainure en arc gothique, ce qui permet à la vis de tourner facilement, même avec un jeu axial minimal. Pour mieux adapter la rigidité aux conditions d'utilisation, il est possible de modifier la précharge entre un ou deux écrous de la vis afin de réduire le jeu axial..



Procédure de circulation

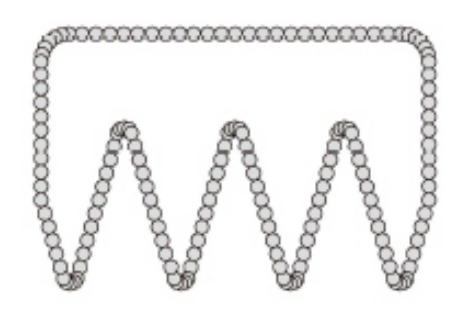






figure. 3.1.3.: écrous internes à recirculation de billes

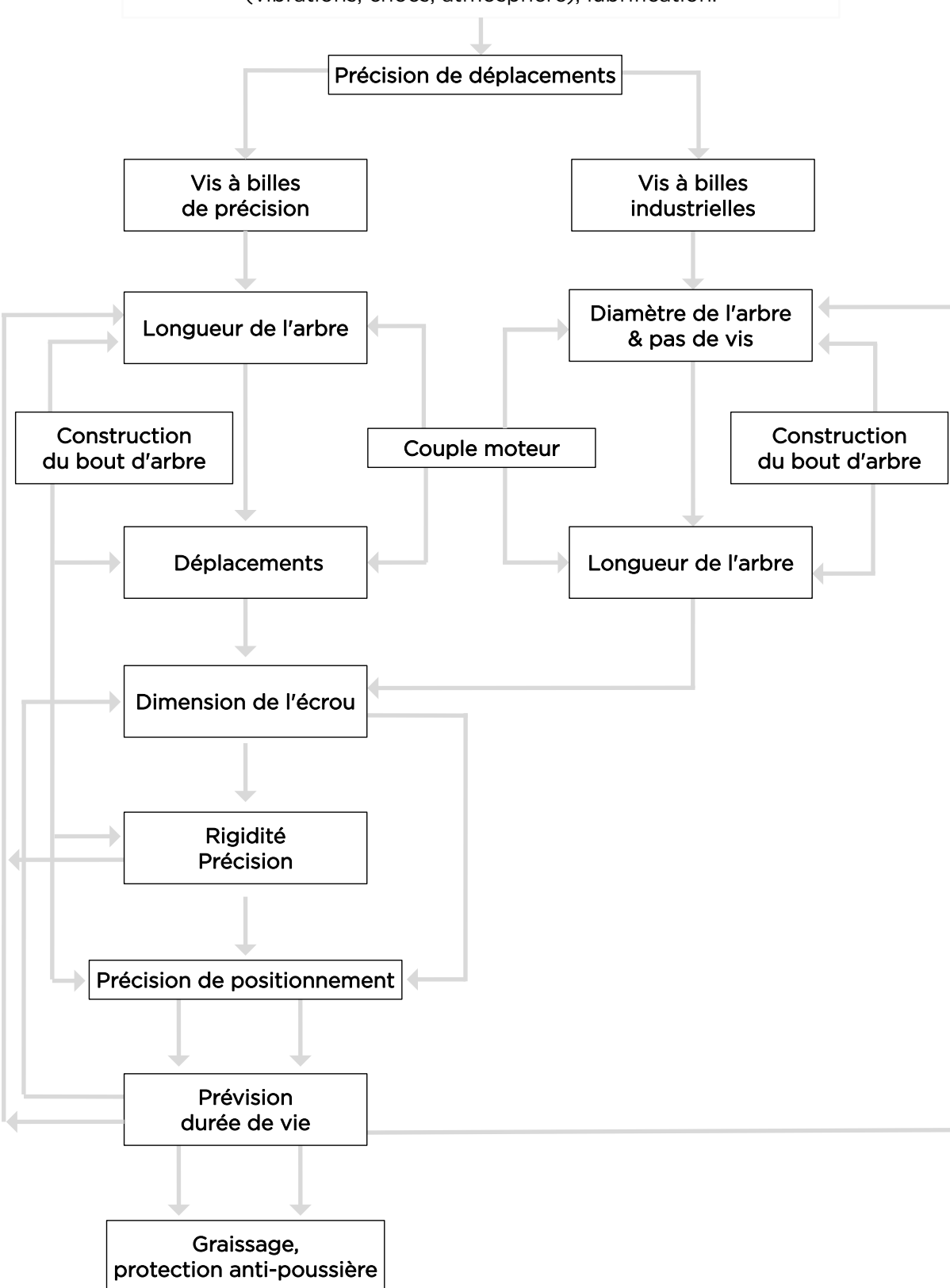
Grande longévité

www.mtoswiss.ch 4 info@mtoswiss.ch

1.2. Procédure de sélection des vis à billes

High Technology for Professionals

Charge, accélération de la vitesse, longueur de course maximale, précision de positionnement, durée de vie requise, état de charge (vibrations, chocs, atmosphère), lubrification.



www.mtoswiss.ch 5 info@mtoswiss.ch

1.3. Sélection de l'écrou

Série

Lors du choix de la série, veuillez tenir compte de la précision requise, du délai de livraison prévu, des dimensions (diamètre extérieur de la broche, rapport pas/diamètre extérieur de la broche), de la précharge, etc.

Mode de circulation

Lors du choix du type de circulation, il faut tenir compte de la capacité de l'espace de montage de l'écrou. Les avantages de chaque type de circulation sont illustrés dans la figure 3.4.1.

Nombre de cycles

Lors du choix du nombre de cycles, la performance et la durée de vie doivent être prises en compte..

Forme de flasque

Le choix se fait en fonction de l'espace disponible pour le montage des écrous.

Trou d'huile

Des trous d'huile sont prévus pour les vis à billes de précision. Veuillez les utiliser lors du montage de la machine et lors de l'installation régulière de la machine..

1.4. Construction de l'écrou

1.4.1 Mode de circulation

	М	odèle						
Mode de circulation	Écrou unique	écrou double	Particularités Particularités					
Type de circulation interne	SFK SFU SFI SGI	DFU DFI	 Faible diamètre de la vis, ne nécessite que peu de place Applicable aux vis de faible pas de vis / du diamètre extérieur de la vis 					
Type de circulation externe	SFV XFV	DFV	 Économique Applicable pour des conduites plus grandes et diamètre Applicable à des fins de charge élevée 					
Embouts pour la circulation	SFS SFY	DFS	Convient pour les positionnements à grande vitesse					

www.mtoswiss.ch 6 info@mtoswiss.ch

1.4.2 Type d'écrou

High Technology for Professionals

Type d'écrou - U, I

Dans ce type d'écrou, la bille est ramenée au point de départ grâce à l'utilisation du circulateur interne qui fait passer la bille en diagonale sur le sommet. Normalement, une bille s'insère dans un support.

Comme le montre la figure 3.4.1, au moins un côté de ces écrous doit être entièrement perméable aux dents, ce qui convient aux arbres de plus petit diamètre:

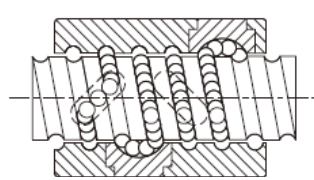


fig. 4.1. Type d'écrou U, I

Type d'écrou - K

Le mode de circulation est le même que pour le type I, mais la circulation se fait dans des fentes de clé avec le même angle pour une circulation différente. (voir fig. 3.4.2)

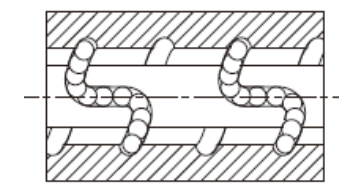


fig. 3.4.2 Type d'écrou K

Type d'écrou V

La conception spéciale du circulateur permet aux billes de rouler le long du sens du filetage. Cela augmente l'uniformité de la circulation tout en réduisant les collisions mutuelles. C'est un type approprié pour une vitesse élevée et une charge lourde.

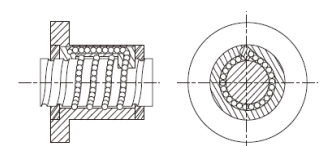


fig. 3.4.3 Type d'écrou V

Type d'écrou S, Y, E,H

L'utilisation de capuchons anti-poussière minces et flexibles des deux côtés a permis d'améliorer les performances d'essuyage. En outre, l'amélioration de la structure de circulation augmente à la fois la fonction de haute rigidité et la vitesse.

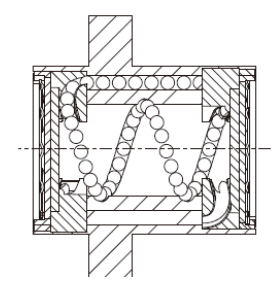


fig. 3.4.4 Type d'écrou S,Y,E,H

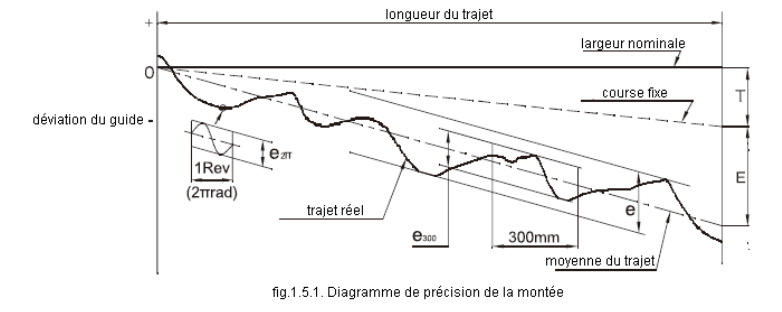
www.mtoswiss.ch 7 info@mtoswiss.ch

1.5. Précision

1.5.1 Une longueur d'avance/ Précision de déplacement

Écart moyen de course (±E) et écart de course (e) (JIS B 1192) Déviation par 300 mm (e300) et erreur de nutation (e2TT) (JIS B 1192)

tableau 1.5.1. unité: µm classe C2 C7 C10 3.5 e300 e2TT 2.5 ±Ε Incl. ±Ε ±Ε ±Ε ±Ε 3.5 3.5 3.5 3.5 ±50/ ±210/ 300mm 300mm



1.5.2 Jeu axial

Le jeu axial de la vis à billes de précision est représenté comme suit

tableau 1.5.1. unité: µm

classe	PO	P1	P2	Р3	P4
Jeu axial	oui	non	non	non	non
Précharge	non	non	léger	moyen	lourd

www.mtoswiss.ch 8 info@mtoswiss.ch

Une précontrainte trop élevée augmente le couple de frottement et génère de la chaleur, ce qui réduit la durée de vie. En revanche, une précontrainte insuffisante diminue la rigidité et augmente le risque de perte de mouvement. Il est recommandé que la précontrainte des machines-outils à commande numérique ne dépasse pas 8% de la charge dynamique ; 5% pour les tables X-Y de l'automatisation industrielle..

tableau 1.5.3. La force élastique de référence de (P2))

High Technology for Professionals

Modèle no.	Force du ressort (kg) Écrou unique	Force du ressort(kg) Écrou double
1605	0.1 ~ 0.3	0.3 ~ 0.6
2005	0.1 ~ 0.3	0.3 ~ 0.6
2505	0.2 ~ 0.5	0.3 ~ 0.6
3205	0.2 ~ 0.5	0.5 ~ 0.8
4005	0.2 ~ 0.5	0.5 ~ 0.8
2510	0.2 ~ 0.5	0.5 ~ 0.8
3210	0.3 ~ 0.6	0.5 ~ 0.8
4010	0.3 ~ 0.6	0.5 ~ 0.8
5010	0.3 ~ 0.6	0.8 ~ 1.2
6310	0.6 ~ 1.0	0.8 ~ 1.2
8010	0.6 ~ 1.0	0.8 ~ 1.2

tableau 1.5.4. Jeu axial (PO) dans le sens axial des vis à billes roulées et rectifiées

unité: mm

Diamètre nominal	Jeu de la vis à billes roulée dans le sens axial (max.)	Jeu de la vis à billes rectifiée dans le sens axial (max.)
Ø04 ~ Ø14 Vis à billes miniatures	0.05	0.015
Ø15 ~ Ø40 taille moyenne des vis à billes	0.08	0.025
Ø04 ~ Ø14 vis à billes de grande taille	0.12	0.05

1.5.3 Définition de la précision et de la tolérance de montage des vis à billes

Les points les plus importants de la précision de montage des vis à billes sont énumérés cidessous.

- (1) concentricité de la partie portante de l'arbre de broche par rapport à la rainure de la broche.
- (2) Centrage d'une partie de fixation de l'arbre par rapport à la partie rectifiée adjacente de l'arbre de la broche.
- (3) Perpendicularité des épaulements par rapport à la partie rectifiée adjacente de la tige filetée
- (4) Perpendicularité de la bride de l'écrou par rapport à l'axe de la tige de la vis.
- (5) Concentricité du diamètre de l'écrou sphérique par rapport à la rainure de la vis.
- (6) Parallélisme de la surface de montage d'un écrou à billes avec la rainure de la vis..
- (7) Déplacement total de la tige filetée par rapport à l'axe de la tige filetée

High Technology for Professionals

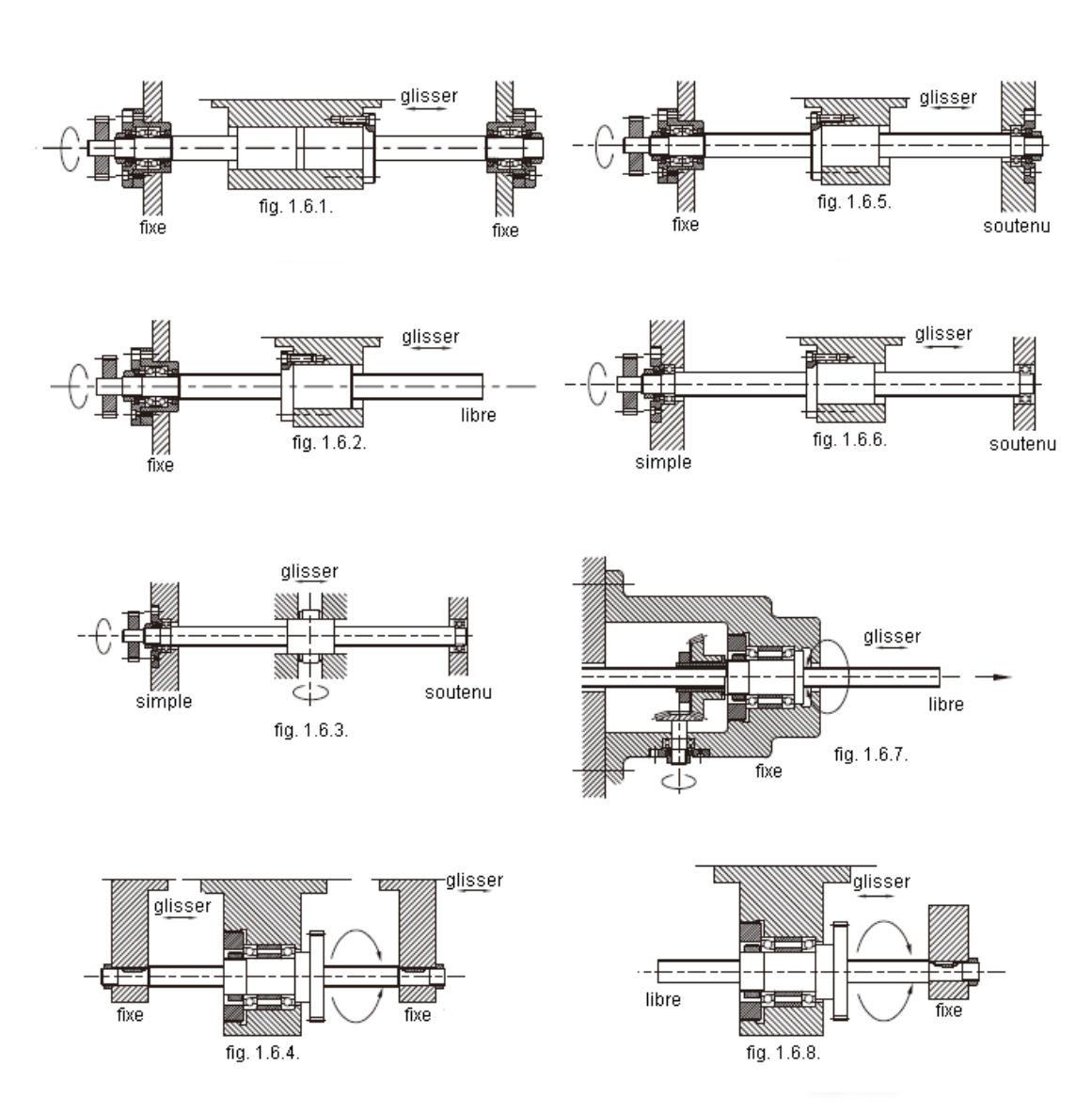
MTO & Co. AG

1.6. Construction de la tige filetée

1.6.1 méthodes de montage

Il est important, lors du choix de la vis à billes, de tenir compte du type de montage (fig. 3.6.1-3.6.8), il faut en tenir compte.. Si vous avez des exigences particulières concernant le type de fixation, veuillez vous adresser directement à MTO & Co. AG.

Vis de fixation et écrou

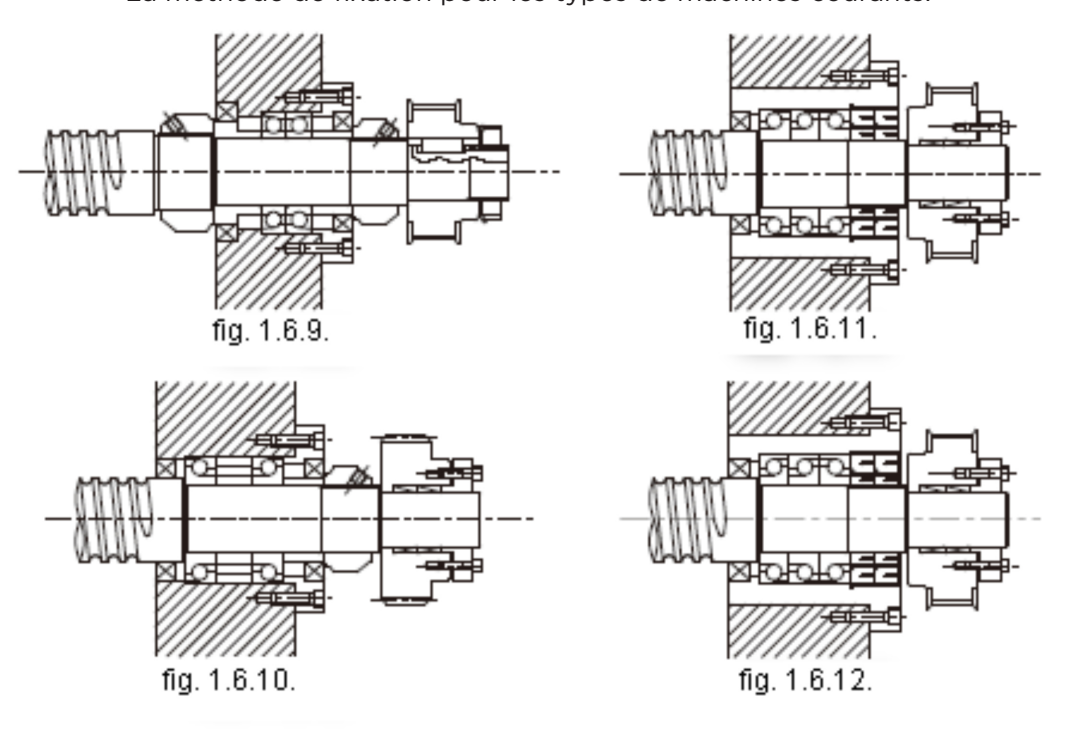


info@mtoswiss.ch www.mtoswiss.ch 10

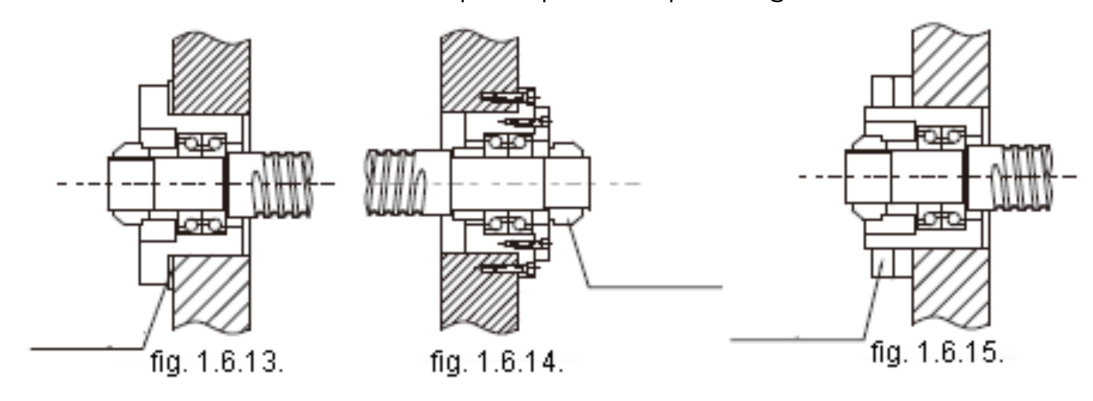
High Technology for Professionals

MTO & Co. AG

La méthode de fixation pour les types de machines courants.



La méthode de fixation du palier pour une précharge donnée.



info@mtoswiss.ch 11 www.mtoswiss.ch

1.7. Précision de positionnement

Parmi les facteurs qui entraînent des erreurs dans la précision de l'avance, il faut également tenir compte de la rigidité du système d'avance et de la précision du guidage, ainsi que d'autres facteurs tels que la déformation thermique due à l'augmentation de la température et la précision de montage de la surface de guidage.

1.7.1. Sélection de la précision

Tableau 1. 7.1 montre les domaines d'application recommandés pour différentes classes de précision de vis à billes basées sur différentes applications.

tableau 1.7.1. Exemples de classes de précision de vis à billes pour différentes applications

	Application		Degré de précision										
	Application		CO	C1	C2	C3	C5	C7	C10				
	Machine à tourner	X	0	0	0	0	0	0					
		Y XY		•	0	0	0	0					
	Fraiseuse, machine à percer	Z		0	0	0	0	0					
		XY		0	0	0	0						
	Centre de machines	Z			0	0	0						
S	Perceuse à gabarit	Υ	0	0									
νσ	r creedse a gasarre	Z	0	0									
E E	Machine à percer	XY Z				0	0	0					
-0		X	0	0	0	0	0	0					
Jes	Machine à poncer	Z		0	0	0	0	0					
Machines-outils à	Machine d'électroérosion	XY		0	0	0	0	0					
ğ Ζ	(EDM)	(Z)			0	0	0	0					
	Découpe de fil (EDM)	Y		0	0	0							
	Duoses à déserves	UV		0	0	0	0	0					
	Presse à découper	XY XY				0	0	0					
	Machine de découpe laser	Z				0	0						
	Machine à travailler le b	ois				0	0	0	0				
Machir	nes d'usage général et spéci	fique			0	0	0	0	0				
. _	Équipement antidéflagr	ant	0	0									
sen	Traitement chimique					0	0	0	0				
s à Icte	Soudeuse de fils			0	0	0							
Machines à semi- conducteur	Appareils de contrôle	9	0	0	0	0							
chi	Appareils de coupe				0	0	0	0					
Σ	Perceuse pour PCB			0	0	0	0	0					
v	Type orthogonal	As'sy		0	0	0	0	0					
ots rriel	Type of thogonal	autres					0	0	0				
Robots industriels	Type de connexion multiple	As'sy autres			0	0	0	0					
E S	Type de SCARA	autres			0	0	0	0					
Mac	chines pour le moulage d'aci	ior			Ü		0	0	0				
	achines à mouler par injectio						0	0	0				
	nes de mesure tridimension		•	•	•		O	O	O				
Macm	Machines industrielles	nelle	0	0	0		_						
							0	0	0				
	Machines à dessins		0	0									
Force	Commande à tige					0	0	0					
nucléaire		ies						0	0				
	Avions					0	0						

www.mtoswiss.ch 12 info@mtoswiss.ch

1.8. Précautions à prendre lors de l'utilisation de vis à billes

Les vis à billes sont des composants sensibles. Il convient donc de prendre des précautions particulières pour protéger la vis à billes des dommages causés par des éléments ou des outils anguleux.

Afin d'éviter que la bille d'acier ne tombe de l'écrou en démontant la vis et l'écrou ou en passant par l'entretoise, il convient d'être prudent lors de la manipulation. Si la bille d'acier devait tomber, veuillez vous adresser à MTO & Co. AG, pour obtenir des instructions supplémentaires. N'essayez pas de remonter les vis à billes, car cela pourrait

entraîner des dommages permanents..

High Technology for Professionals

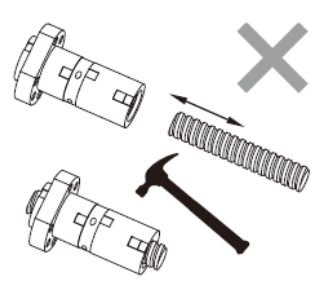


fig. 3.8.1. installation incorrecte

Si un démontage est nécessaire, veuillez utiliser un tube de transmission d'un diamètre inférieur à celui de la vis pour déplacer l'écrou afin d'éviter que les billes d'acier ne tombent.

1.9. Graissage

Lors de l'utilisation de vis à billes, il faut veiller à ce que la lubrification soit suffisante, car une lubrification insuffisante entraîne une collision des métaux. Cela entraîne une augmentation du frottement et de l'abrasion, ce qui entraîne à son tour une défaillance ou une réduction de la durée de vie.

Les lubrifiants utilisés pour les vis à billes peuvent être divisés en 2 types, à savoir l'huile lubrifiante et la graisse consistante.

En général, la lubrification à la graisse entraîne une augmentation linéaire du couple de frottement de glissement avec l'augmentation de la vitesse, de sorte que la lubrification à l'huile est la meilleure solution lorsque la vitesse dépasse 3 à 5 m/min ; il existe toutefois des exemples où la graisse permet d'atteindre des vitesses de 10 m/min, selon l'équipement. En ce qui concerne l'équipement, il existe quelques lubrifiants moins chers qui peuvent être utilisés.

Pour profiter pleinement de la fonction de la vis à billes, le meilleur choix est une huile de lubrification avec une vitesse de 5 m/min.

Le tableau 1.9.1 indique la norme d'inspection de l'huile de lubrification et les intervalles d'appoint. Avant de faire l'appoint, il convient d'éliminer la graisse précédente.

tableau 1.9.1. Contrôle de la lubrification et des intervalles de remplissage

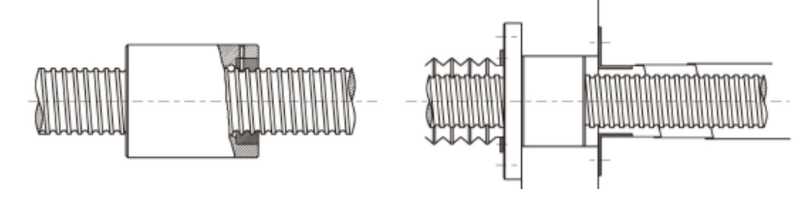
Méthode	Intervalle	Vérification du système	Intervalle de remplissage/ remplacement			
Approvisionnement périodique automatique en huile	chaque semaine	Niveau d'huile, encrassement	En fonction du niveau de remplissage du réservoir, faire l'appoint à chaque contrôle			
Graisse lubrifiante	En général, 2-3 mois	contamination à l'entrée du copeau	annuellement ou selon le résultat de l'inspection			
Bain d'huile	tous les jours	Niveau d'huile	A déterminer en fonction de la consommation			

www.mtoswiss.ch 13 info@mtoswiss.ch

1.10. Protection anti-poussière / Prévention

La pénétration de corps étrangers ou d'eau dans la vis à billes peut augmenter le frottement et provoquer des dommages. Pour les machines-outils, il faut s'attendre à la pénétration de copeaux ou d'huile de coupe, selon l'environnement de travail. S'il faut s'attendre à la pénétration de corps étrangers, utilisez un soufflet ou un couvercle télescopique, comme indiqué sur la figure 1.10.1, pour recouvrir entièrement la vis à billes...

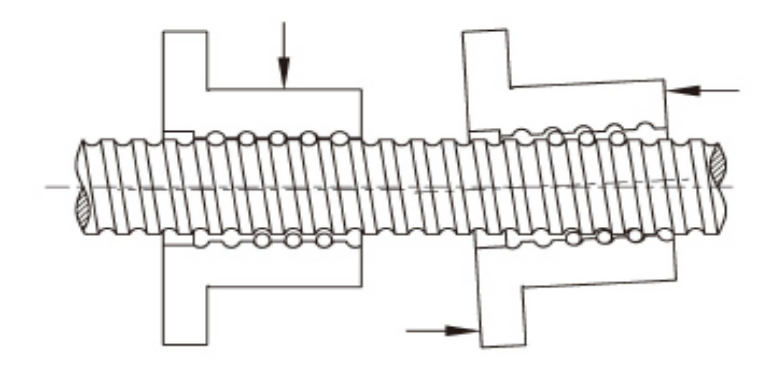
fig.: 1.10.1. Procédure étanche à la poussière avec couvercle télescopique et soufflet d'étanchéité



1.11. Charge décalée

Lorsque le phénomène de charge décalée se produit, la durée de vie de la vis et le bruit sont directement affectés, ce qui s'accompagne généralement d'une sensation de fonctionnement rugueux dans la main. La facilité de fonctionnement de l'arbre unique et de la vis à billes peut être différente. En plus de la précision de l'arbre unique, le désalignement a généralement été causé par une mauvaise précision de montage, comme le montre la figure 1.11.1.

fig.: 1.11.1. Charge de décalaget



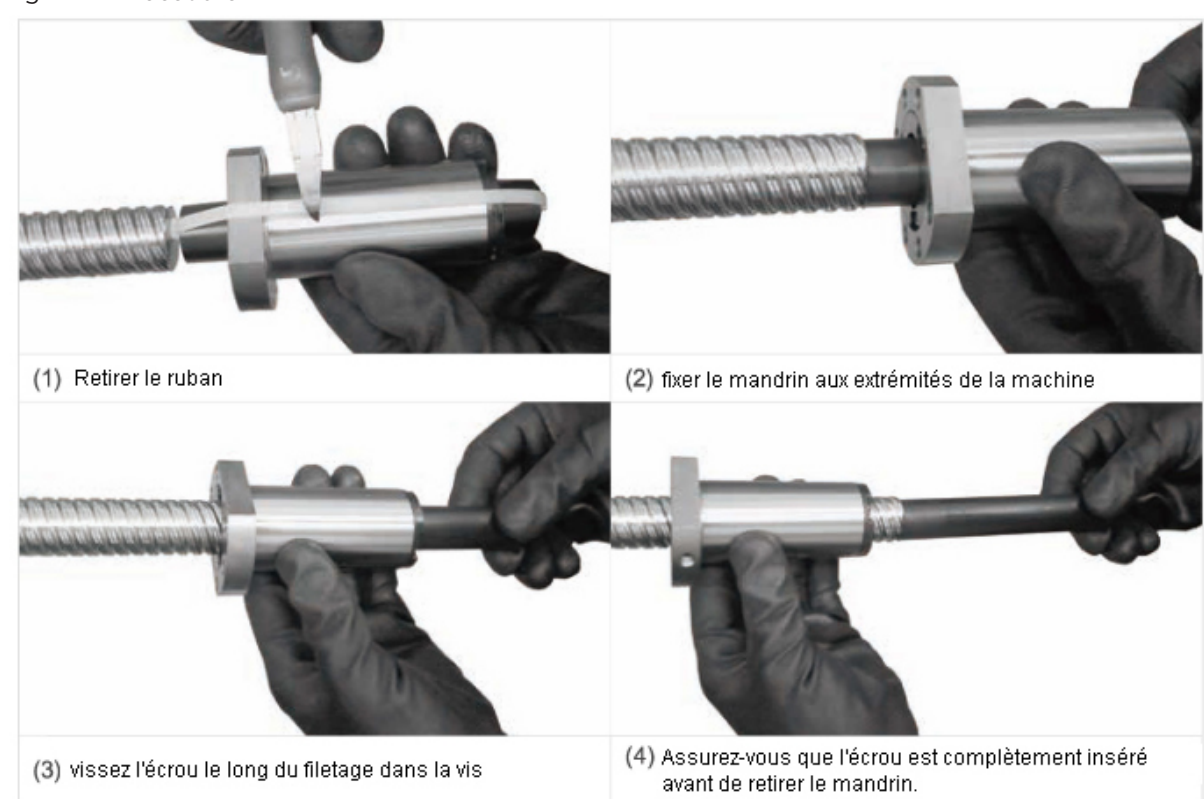
www.mtoswiss.ch 14 info@mtoswiss.ch

1.12. Assemblage des vis à billes

High Technology for Professionals

Si l'écrou à billes roulé est livré non monté, veuillez procéder comme suit.

fig.: 1.12.1 Procédure



1.13. Code de modèle nominal de la vis à billes

	_				_												
SFU	R	025	05	T4	D	G	C5	-	600	7	P1	-	B2	+	N3	N3	
1	2	3	4	S	6 6	7 ⑦	8		9		10		1		12	13	
(1)				2									7				
	e valeur	r nominale		Sens d	'enfilaç	ge			Nombre (série de				Code p	roduit			
	S : Éc	crou simple	•	R: à dr	oite				Rotation		10113)		G: pond	é			
S	D:É	crou souble	9	L: à ga	uche				A:1.5 (or 1. 7	/1.8)		F: lamin	é			
									B: 2.5/2	.8							
_		3					C: 3.5				8						
F	F C:sans flasque					ninal			D: 4.8				Degré o	l'exact	itude		
	I : Typ	pe écrou		unité: ı	mm				ex:(2.5	5X 2 =	B2)		CO, C1,	C2, C3	, C5, C7	7, C10	
	U: Ty	pe écrou															
	Н: Ту	pe écrou		4					6				9				
	S: Ty	pe écrou								flasqu	е		Longue	ur tota	ale de l'a	arbre	
U	E: Ty	pe écrou		unité: ı			N : Ne p	N : Ne pas couper				unité: mm					
	Y: Ty	pe écrou					S : Découpage facile										
	V: Ty	pe écrou							D : Double coupe								
	K: Ty	pe écrou															
	DC: T	ype écrou															
10									10								
Jeu axial	et valeu	ır de préch	arge						Nombre d'écrous								
PO, P1, P2	2, P3, P4	1								rou est nécessaire) crous sur un arbre B2							
12									(13)								
Traitemer	nt de su	rface de l'é	crou						Traitem	nent de	surface	e de l'	arbre				
S: Standa	rd								S: Stan	dard							
B1 : Noir o	oxydé								B1 : Noir oxydé								
N1 : Chror	mé dur								N1 : Ch	romé c	lur						
P: Phosp	haté								P: Pho	osphate	é						
N3 : Revê	tement	en nickel							N3 : Revêtement en nickel								
N4 : gren	aillées								N4 : grenaillées								
N5 : Chro	mé									N5 : Chromé							
* Pas de s	symbole	requis si l	e revêt	ement r	'est pa	s néces	ssaire.										

Pas de symbole requis si le revêtement n'est pas nécessaire.

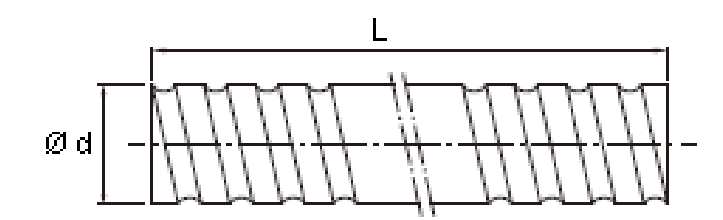


fig.: 1.13.1. Diamètre nominal de l'arbre à vis sans fin

tableau.: 1.13.1. vis à billes rectifiée - spécification \emptyset 4 ~ 32

Numéro de modèle				Sens d'enfilage	Nombre	Code standard		
Ød	1	Da	Degré de précision	Sens d'enfilage R: droite L: gauche	de rainures	de l'arbre	Type d'écrou	
4	1	0.8	C7, C5, C3	R	1	SCR00401	K	
6	1	0.8	C7, C5, C3	R	1	SCR00601	K	
	1	0.8	C7, C5, C3	R/L	1	SCR00801	K	
8	2	1.2	C7, C5, C3	R/L	1	SCR00802	K	
	2.5	1.2	C7, C5, C3	R	1	SCR0082.5	K	
	2	1.2	C7, C5, C3	R/L	1	SCR01002	K	
10	4	2	C7, C5, C3	R	1	SCR01004	K	
	2	1.2	C7, C5, C3	R/L	1	SCR01202	K	
40	4	2.5	C7, C5, C3	R	1	SCR01204	U	
12	5	2.5	C7, C5, C3	R	1	SCR01205-A	V, U, H	
	10	2.5	C7, C5, C3	R	2	SCR01210-B	V, S	
14	2	1.2	C7, C5, C3	R/L	1	SCR01402	K	
	2	1.2	C7, C5, C3	R/L	1	SCR01602	K	
	4	2.381	C7, C5, C3	R	1	SCR0 1604(N)	V, I U,	
10	5	3.175	C7, C5, C3	R/L	1	SCR01605	V, I, U, S	
16	10	3.175	C7, C5, C3	R/L	2	SCR01610	V, I, U, S	
	16	2.778	C7, C5, C3	R	2	SCR01616	S, E, Y	
	32	2.778	C7, C5, C3	R	2	SCR01632	Y	
	4	2.381	C7, C5, C3	R	1	SCR02004(N)	V, I, U	
	5	3.175	C7, C5, C3	R/L	1	SCR02005	V, I, U, S, H	
20	10	3.969	C7, C5, C3	R	1	SCR02010	S, V	
	20	3.175	C7, C5, C3	R	2	SCR02020	E, S, V, Y, H	
	40	3.175	C7, C5, C3	R	2	SCR02040	Y	
	4	2.381	C7, C5, C3	R	1	SCR02504(N)	I, U	
	5	3.175	C7, C5, C3	R/L	1	SCR02505	V, I, U, S, M, H	
	6	3.969	C7, C5, C3	R	1	SCR02506	V, U	
25	8	4.762	C7, C5, C3	R	1	SCR02508	V, U	
25	10	4.762	C7, C5, C3	R	1	SCR02510-A	I, U	
	10	6.35	C7, C5, C3	R	1	SCR02510-B	V	
	25	3.969	C7, C5, C3	R	2	SCR02525	S, E, Y	
	50	3.969	C7, C5, C3	R	2	SCR02550	Υ	
	4	2.381	C7, C5, C3	R	1	SCR03204(N)	V, I, U	
	5	3.175	C7, C5, C3	R/L	1	SCR03205	V, I, U, S, M, H	
	6	3.969	C7, C5, C3	R	1	SCR03206	V, U	
32	8	4.762	C7, C5, C3	R	1	SCR03208	V, U	
32	10	6.35	C7, C5, C3	R/L	1	SCR03210	V, I. U	
	20	6.35	C7, C5, C3	R	1	SCR03220	S, V	
	32	4.762	C7, C5, C3	R	2	SCR03232	E, Y	
	64	4.762	C7, C5, C3	R	2	SCR03264	Υ	

17

www.mtoswiss.ch

^{*}Pour les vis à billes poncées dont la précision est supérieure à C5, un rapport d'essai est établi.

unité: mm

Nur	néro de	modèle	Doguć do puścicion	Sens d'enfilage	Nombre de rainures	Code standard	Tura diáarau
Ød	- 1	Da	Degré de précision	R: droite L: gauche	Nombre de rainures	de l'arbre	Type d'écrou
	5	3.175	C7, C5, C3	R/L	1	SCR04005	V, I, U, H
	6	3.969	C7, C5, C3	R	1	SCR04006	V, U
	8	4.762	C7, C5, C3	R	1	SCR04008	V, U
40	10	6.35	C7, C5, C3	R/L	1	SCR04010	V, I, U,
	20	635	C7, C5, C3	R	2	SCR04020	S, V
	40	6.35	C7, C5, C3	R	2	SCR04040	S, Y
	80	6.35	C7, C5, C3	R	2	SCR04080	Y
	5	3.175	C7, C5, C3	R	1	SCR05005	V, H
	10	6.35	C7, C5, C3	R/L	1	SCR05010	V, I, U,
50	20	9.525	C7, C5, C3	R	1	SCR05020	S, V
	50	7.938	C7, C5, C3	R	2	SCR05050	S, Y
	100	7.938	C7, C5, C3	R	2	SCR050100	Υ
63	10	6.35	C7, C5, C3	R	1	SCR06310	V, I, U,
03	20	9.525	C7, C5, C3	R	1	SCR06320	V, U
80	10	6.35	C7, C5, C3	R	1	SCR08010	V, I, U,
00	20	9.525	C7, C5, C3	R	1	SCR08020	V, U

tableau.: 1.13.3. Spécifications de type H Ø16 ~ 50

unité: mm

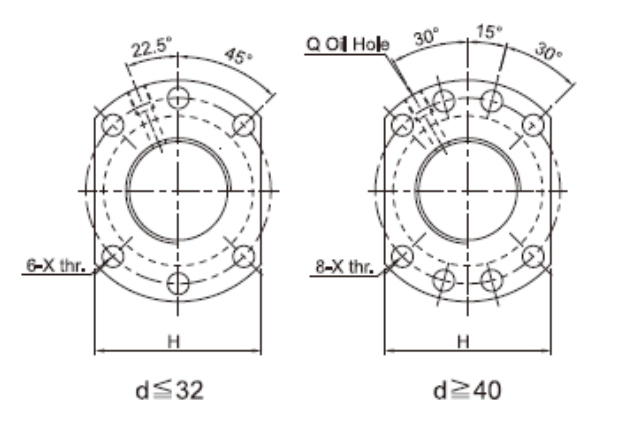
Nur	méro de	modèle	Dográ do prácicion	Sens d'enfilage	Nombre de rainures	Code standard	Typo diágrau@d
- 1	Da		Degré de précision	R: droite L: gauche	nombre de rainures	de l'arbre	Type d'écrouØd
12	10	2.5	C7, C5, C3	R	1	SSR01210	Н
	5	2.778	C7, C5, C3	R	1	SSR01605	Н
16	10	2.778	C7, C5, C3	R	1	SSR01610	Н
10	16	2.778	C7, C5, C3	R	1	SSR01616	Н
	20	2.778	C7, C5, C3	R	1	SSR01620	Н
20	10	3.175	C7, C5, C3	R	1	SSR02010	Н
25	10	3.175	C7, C5, C3	R	1	SSR02510	Н
25	25	3.175	C7, C5, C3	R	1	SSR02525	Н
	10	3.969	C7, C5, C3	R	R 1 SSR03210		Н
32	20	3.969	C7, C5, C3	R	1	SSR03220	Н
	32	6.35	C7, C5, C3	R	1	SSR03232	Н
	10	6.35	C7, C5, C3	R	1	SSR04010	Н
40	20	6.35	C7, C5, C3	R	1	SSR04020	Н
	40	6.35	C7, C5, C3	R	1	SSR04040	Н
	10	6.35	C7, C5, C3	R	1	SSR05010	Н
50	20	6.35	C7, C5, C3	R	1	SSR05020	Н
	50	6.35	C7, C5, C3	R	1	SSR05050	Н

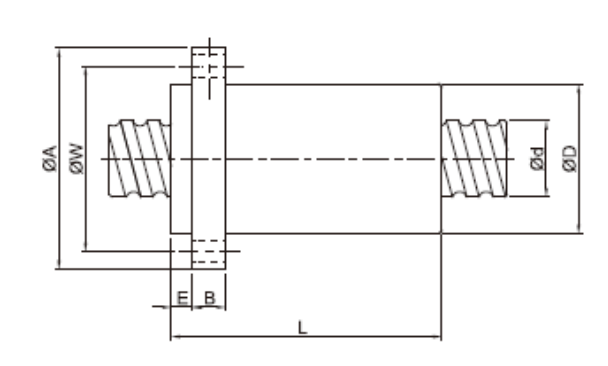
*Les informations sont fournies pour les spécifications, si des produits personnalisés sont nécessaires, veuillez contacter MTO & Co. AG.

2 Classification des vis à billes

High Technology for Professionals

2.1. Tableau des tailles pour les vis à billes SFA

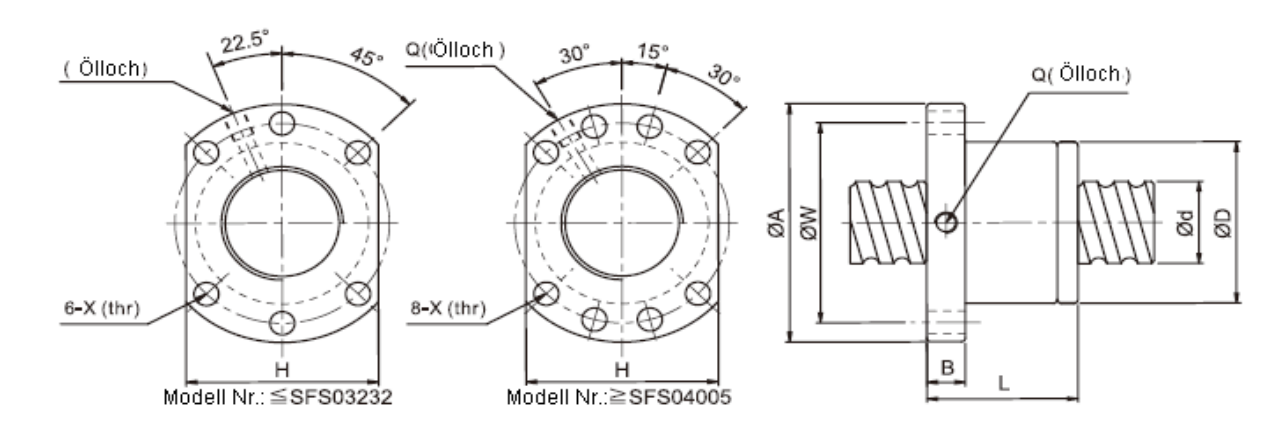




I = guidage // Da = diamètre de la bille // N = nombre de circuits // K = rigidité (Kgf/ μ m) Ca = charge dynamique de base (kgf) // Coa: charge statique de base (kgf)

				unité: mm												unité	e: mm
	Numéro	d	,	Da					Dime	ension	s				capa de ch		K
	de modèle	u		Da	D	A	E	В	L	w	н	x	Q	n	Ca (kgf)	Coa (kgf)	kgf/µm
	SFA0802-3.8	8	2	1.2	14	27	3	5	17.5	21	18	3.4	-	3.8 x 1	213	419	-
	SFA0802.5-3.8	8	2.5	1.2	14	27	3	5	20	21	18	3.4	-	3.8 x 1	214	420	-
	SFA1004-3.8	10	4	2	26	46	4	10	30	36	28	4.5	-	3.8 x 1	476	891	-
$\stackrel{\wedge}{\approx}$	SFA1205-2.8	12	5	2.5	24	40	5	10	30	32	30	4.5	-	2.8 x 1	661	1316	19
$\stackrel{\wedge}{\approx}$	SFA1210-2.8	12	10	2.5	24	40	5	10	42	32	30	4.5	-	2.8 x 1	642	1287	19
☆	SFA1605-3.8		5	2.778	28	48	5	10	31	38	40	5.5	M6	3.8 x 1	1112	2507	30
☆	SFA1610-2.8		10	2.778	28	48	5	10	42	38	40	5.5	M6	2.8 x 1	839	1821	23
☆	SFA1616-1.8	15	16	2.778	28	48	5	10	43	38	40	5.5	M6	1.8 x 1	552	1137	14
☆	SFA1616-2.8	15	16	2.778	28	48	5	10	59	38	40	5.5	M6	2.8 x 1	808	1769	22
☆	SFA1620-1.8		20	2.778	28	48	5	10	50	38	40	5.5	M6	1.8 x 1	554	1170	14
☆	SFA1630-1.8		30	2.778	28	48	7	10	70	38	40	5.5	M6	1.8 x 1	534	1195	14
$\stackrel{\wedge}{\simeq}$	SFA2005-3.8		5	3.175	36	58	7	10	33	47	44	6.6	M6	3.8 x 1	1484	3681	37
$\stackrel{\wedge}{\simeq}$	SFA2010-3.8	20	10	3.175	36	58	7	10	52	47	44	6.6	M6	3.8 x 1	1516	3833	40
☆	SFA2020-1.8	20	20	3.175	36	58	7	10	52	47	44	6.6	M6	1.8 x 1	764	1758	19
☆	SFA2020-2.8		20	3.175	36	58	7	10	72	47	44	6.6	M6	2.8 x 1	1118	2734	29
☆	SFA2505-3.8		5	3.175	40	62	7	10	33	51	48	6.6	M6	3.8 x 1	1650	4658	43
☆	SFA2510-3.8	25	10	3.175	40	62	7	12	52	51	48	6.6	M6	3.8 x 1	1638	4633	45
☆	SFA2525-1.8	25	25	3.175	40	62	7	12	60	51	48	6.6	M6	1.8 x 1	843	2199	22
☆	SFA2525-2.8		25	3.175	40	62	7	12	85	51	48	6.6	M6	2.8 x 1	1232	3421	34
	SFA3205-3.8	32	5	3.175	50	80	9	12	35	65	62	9	M6	3.8 x 1	1839	6026	51
	SFA3210-3.8		10	3.969	50	80	9	12	53	65	62	9	M6	3.8 x 1	2460	7255	55
	SFA3220-2.8	31	20	3.969	50	80	9	12	72	65	62	9	M6	2.8 x 1	1907	5482	43
	SFA3232-1.8	٥.	32	3.969	50	80	9	12	78	65	62	9	M6	1.8 x 1	1257	3426	27
	SFA3232-2.8		32	3.969	50	80	9	12	110	65	62	9	M6	2.8 x 1	1838	5329	42
	SFA4005-3.8	40	5	3.175	63	93	9	14	39	78	70	9	M8	3.8 x 1	2018	7589	60
	SFA4010-3.8		10	6.35	63	93	9	14	57	78	70	9	M8	3.8 x 1	5035	13943	67
	SFA4020-2.8	38	20	6.35	63	93	9	14	78	78	70	9	M8	2.8 x 1	3959	10715	54
	SFA4040-1.8		40	6.35	63	93	9	14	96	78	70	9	M8	1.8 x 1	2585	6648	34
	SFA4040-2.8		40	6.35	63	93	9	14	136	78	70	9	M8	2.8 x 1	3780	10341	52
	SFA5005-3.8	50	5	3.175	75	110	10.5	15	42	93	85	11	M8	3.8 x 1	2207	9542	68
	SFA5010-3.8		10	6.35	75	110	10.5	18	57	93	85	11	M8	3.8 x 1	5638	17852	79
	SFA5020-3.8	48	20	6.35	75	110	10.5	18	98	93	85	11	M8	3.8 x 1	5749	18485	87
	SFA5050-1.8	10	50	6.35	75	110	10.5	18	117	93	85	11	M8	1.8 x 1	2946	8749	42
	SFA5050-2.8		50	6.35	75	110	10.5	18	167	93	85	11	M8	2.8 x 1	4308	13610	65

2.2. Tableau des tailles pour les vis à billes SFS



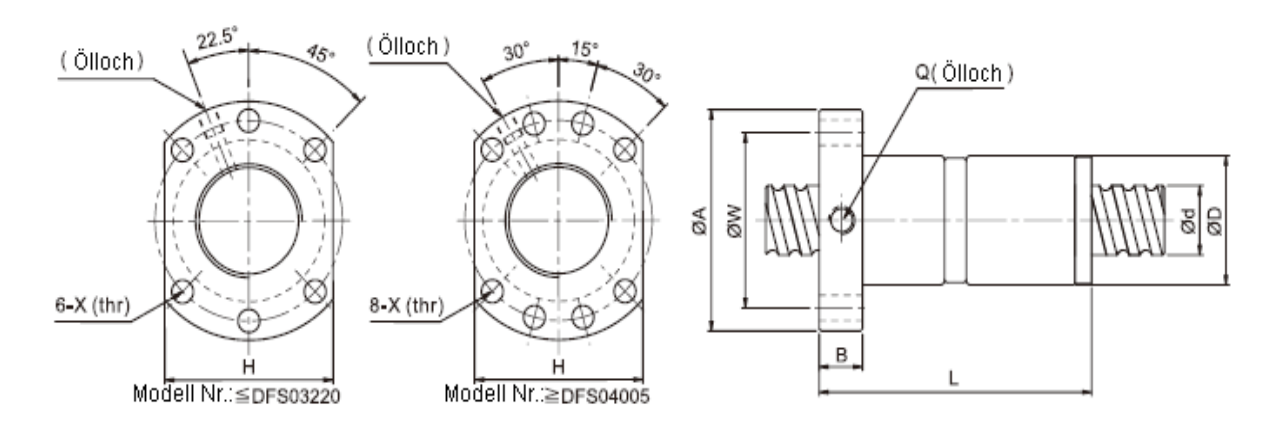
I = guidage // Da = diamètre de la bille // N = nombre de circuits // K = rigidité (Kgf/μm) Ca = charge dynamique de base (kgf) // Coa: charge statique de base (kgf)

unité: mm

Numéro	d		Da					Dim	ension	ıs				acité narge
de modèle	a		Da	D	A	В	L	w	н	x	Q	n	Ca (kgf)	Coa (kgf)
SFS1205-2.8	12	5	2.5	24	40	10	31	32	30	4.5	M6 x 1	2.8 x 1	661	1316
SFS1210-2.8	12	10	2.5	24	40	10	48.5	32	30	4.5	M6 x 1	2.8 x 1	642	1287
SFS1605-3.8		5	2.778	28	48	10	38	38	40	5.5	M6 x 1	3.8 x 1	1112	2507
SFS1610-2.8		10	2.778	28	48	10	47	38	40	5.5	M6 x 1	2.8 x 1	839	1821
SFS1616-1.8	15	16	2.778	28	48	10	45	38	40	5.5	M6 x 1	1.8 x 1	552	1137
SFS1616-2.8		16	2.778	28	48	10	61	38	40	5.5	M6 x 1	2.8 x 1	808	1769
SFS1620-1.8		20	2.778	28	48	10	57	38	40	5.5	M6 x 1	1.8 x 1	554	1170
SFS2005-3.8		5	3.175	36	58	10	40	47	44	6.6	M6 x 1	3.8 x 1	1484	3681
SFS2010-3.8	20	10	3.175	36	58	10	60	47	44	6.6	M6 x 1	3.8 x 1	1516	3833
SFS2020-1.8	20	20	3.175	36	58	10	57	47	44	6.6	M6 x 1	1.8 x 1	764	1758
SFS2020-2.8		20	3.175	36	58	10	77	47	44	6.6	M6 x 1	2.8 x 1	1118	2734
SFS2505-3.8		5	3.175	40	62	10	40	51	48	6.6	M6 x 1	3.8 x 1	1650	4658
SFS2510-3.8		10	3.175	40	62	12	65	51	48	6.6	M6 x 1	3.8 x 1	1638	4633
SFS2520-2.8	25	20	3.175	40	62	12	72	51	48	6.6	M6 x 1	2.8 x 1	1206	2695
SFS2525-1.8		25	3.175	40	62	12	70	51	48	6.6	M6 x 1	1.8 x 1	843	2199
SFS2525-2.8		25	3.175	40	62	12	95	51	48	6.6	M6 x 1	2.8 x 1	1232	3421
SFS3205-3.8	32	5	3.175	50	80	12	42	65	62	9	M6 x 1	3.8 x 1	1839	6026
SFS3210-3.8		10	3.969	50	80	13	62	65	62	9	M6 x 1	3.8 x 1	2460	7255
SFS3220-2.8	31	20	3.969	50	80	12	80	65	62	9	M6 x 1	2.8 x 1	1907	5482
SFS3232-1.8	31	32	3.969	50	80	13	84	65	62	9	M6 x 1	1.8 x 1	1257	3426
SFS3232-2.8		32	3.969	50	80	13	116	65	62	9	M6 x 1	2.8 x 1	1838	5329
SFS4005-3.8	40	5	3.175	63	93	15	45	78	70	9	M8 x 1	3.8 x 1	2018	7589
SFS4010-3.8		10	6.35	63	93	14	63	78	70	9	M8 x 1	3.8 x 1	5035	13943
SFS4020-2.8	38	20	6.35	63	93	14	82	78	70	9	M8 x 1	2.8 x 1	3959	10715
SFS4040-1.8	30	40	6.35	63	93	15	105	78	70	9	M8 x 1	1.8 x 1	2585	6648
SFS4040-2.8		40	6.35	63	93	15	145	78	70	9	M8 x 1	2.8 x 1	3780	10341
SFS5005-3.8	50	5	3.175	75	110	15	45	93	85	11	M8 x 1	3.8 x 1	2207	9542
SFS5010-3.8		10	6.35	75	110	18	68	93	85	11	M8 x 1	3.8 x 1	5638	17852
SFS5020-3.8	40	20	6.35	75	110	18	108	93	85	11	M8 x 1	3.8 x 1	5749	18485
SFS5050-1.8	48	50	6.35	75	110	18	125	93	85	11	M8 x 1	1.8 x 1	2946	8749
SFS5050-2.8		50	6.35	75	110	18	175	93	85	11	M8 x 1	2.8 x 1	4308	13610

2.3. Tableau des tailles pour les vis à billes DFS

High Technology for Professionals

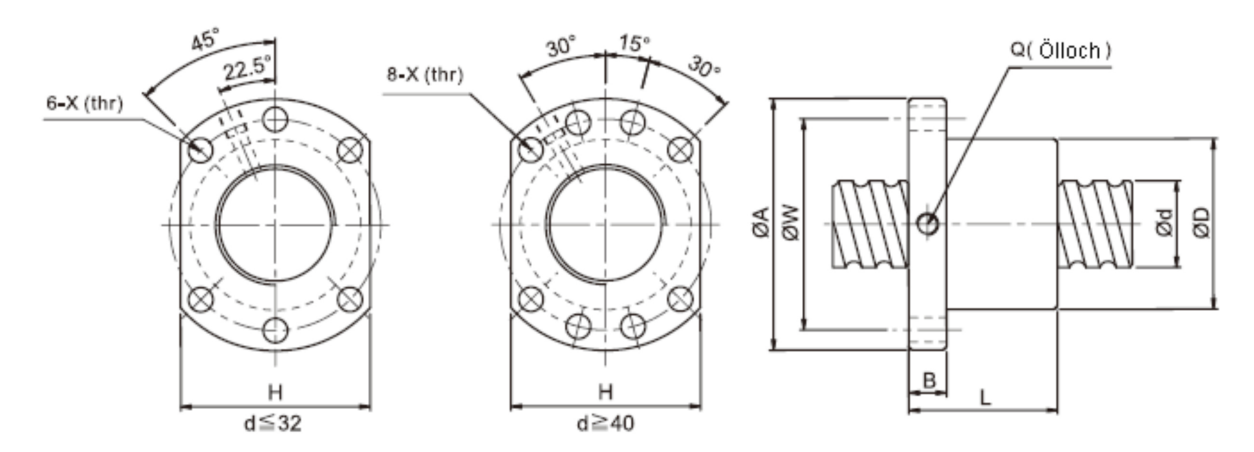


I = guidage // Da = diamètre de la bille // N = nombre de circuits // K = rigidité (Kgf/μm) Ca = charge dynamique de base (kgf) // Coa: charge statique de base (kgf)

unité: mm

Numéro	d		Da					Dime	nsions	•			capa de cl	acité narge
de modèle	ď	Ė	Da	D	A	В	L	w	н	x	Q	n	Ca (kgf)	Coa (kgf)
DFS1605-3.8	15	5	2.778	28	48	10	73	38	40	5.5	M6 x 1	3.8 x 1	1112	2507
DFS1610-2.8	15	10	2.778	28	48	10	97	38	40	5.5	M6 x 1	2.8 x 1	839	1821
DFS2005-3.8	20	5	3.175	36	58	10	75	47	44	6.6	M6 x 1	3.8 x 1	1484	3681
DFS2010-3.8	20	10	3.175	36	58	10	120	47	44	6.6	M6 x 1	3.8 x 1	1516	3833
DFS2505-3.8		5	3.175	40	62	10	75	51	48	6.6	M6 x 1	3.8 x 1	1650	4658
DFS2510-3.8	25	10	3.175	40	62	12	122	51	48	6.6	M6 x 1	3.8 x 1	1638	4633
DFS2520-2.8		10	3.969	50	62	12	140	51	48	6.6	M6 x 1	2.8 x 1	1206	2695
DFS3205-3.8	32	5	3.175	50	80	12	82	65	62	9	M6 x 1	3.8 x 1	1839	6026
DFS3210-3.8	31	10	3.969	50	80	13	122	65	62	9	M6 x 1	3.8 x 1	2460	7255
DFS3220-2.8	51	20	3.969	50	80	12	160	65	62	9	M6 x 1	2.8 x 1	1907	5482
DFS4005-3.8	40	5	3.175	63	63	15	85	78	70	9	M8 x 1	3.8 x 1	2018	7589
DFS4010-3.8	38	10	6.35	63	63	14	123	78	70	9	M8 x 11	3.8 x 1	5035	13943
DFS4020-2.8	38	20	6.35	63	63	14	162	78	70	9	M8 x 1	2.8 x 1	3959	10715
DFS5005-3.8	50	5	3.175	75	75	15	85	93	85	11	M8 x 1	3.8 x 1	2207	9542
DFS5010-3.8	40	10	6.35	75	75	18	138	93	85	11	M8 x 1	3.8 x 1	5638	17852
DFS5010-3.8	48	20	6.35	75	75	18	218	93	85	11	M8 x 1	3.8 x 1	5749	18485

2.4. Tableau des tailles pour les vis à billes SFU



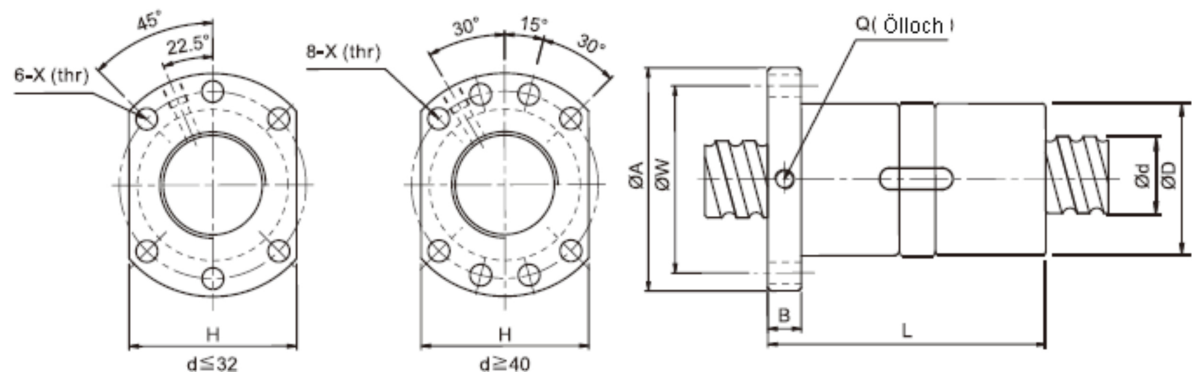
I = guidage // Da = diamètre de la bille // N = nombre de circuits // K = rigidité (Kgf/μm) Ca = charge dynamique de base (kgf) // Coa: charge statique de base (kgf)

unité: mm

	Numéro	d	,	Da					Dime	ensions				capa de ch	
	de modèle	u		Da	D	A	В	L	w	н	x	Q	n	Ca (kgf)	Coa (kgf)
$\stackrel{\wedge}{\approx}$	SFU 1204-3	12	4	2.5	24	40	10	40	32	30	4.5	M6 x 1	1 x 3	415	709
	SFU 1604-3		4	2.381	28	48	10	36	38	40	5.5	M6 x 1	1 x 3	488	940
☆	SFU 1605-3	16	5	3.175	28	48	10	42	38	40	5.5	M6 x 1	1 x 3	666	1143
☆	SFU 1605-4	10	5	3.175	28	48	10	50	38	40	5.5	M6 x 1	1 x 4	1127	2288
☆	SFU 1610-3		10	3.175	28	48	10	57	38	40	5.5	M6 x 1	1 x 3	909	1848
	SFU 2004-3		4	2.381	36	58	10	42	47	44	6.6	M6 x 1	1 x 3	541	1187
$\stackrel{\wedge}{\approx}$	SFU 2005-3	20	5	3.175	36	58	10	42	47	44	6.6	M6 x 1	1 x 3	749	1495
$\stackrel{\wedge}{\sim}$	SFU 2005-4		5	3.175	36	58	10	51	47	44	6.6	M6 x 1	1 x 4	1268	2991
	SFU 2504-3		4	2.381	40	62	10	42	51	48	6.6	M6 x 1	1 x 3	605	1534
$\stackrel{\wedge}{\sim}$	SFU 2505-3		5	3.175	40	62	10	42	51	48	6.6	M6 x 1	1 x 3	839	1935
☆	SFU 2505-4	25	5	3.175	40	62	10	51	51	48	6.6	M6 x 1	1 x 4	1420	3872
☆	SFU 2510-3		10	4.762	40	62	10	70	51	48	6.6	M6 x 1	1 x 3	1427	2771
☆	SFU 2510-4		10	4.762	40	62	12	85	51	48	6.6	M6 x 1	1 x 4	2415	5543
$\stackrel{\wedge}{\sim}$	SFU 3205-4		5	3.175	50	80	12	52	65	62	9	M6 x 1	1 x 4	1604	5103
	SFU 3210-3	32	10	6.35	50	80	12	74	65	62	9	M6 x 1	1 x 3	2319	4575
	SFU 3210-4		10	6.35	50	80	12	90	65	62	9	M6 x 1	1 x 4	3924	9152
	SFU 4005-4		5	3.175	63	93	14	55	78	70	9	M8 x 1	1 x 4	1786	6512
	SFU 4010-3	40	10	6.35	63	93	14	71	78	70	9	M8 x 1	1 x 3	2610	5834
	SFU 4010-4		10	6.35	63	93	14	93	78	70	9	M8 x 1	1 x 4	4417	1169
	SFU 5010-4	50	10	6.35	75	110	16	93	93	85	11	M8 x 1	1 x 4	4947	15488
	SFU 6310-4	63	10	6.35	90	125	18	98	108	95	11	M8 x 1	1 x 4	5586	20417
	SFU 6320-4	63	20	9.525	95	135	20	149	115	100	13.5	M8 x 1	1 x 4	9397	28512
	SFU 8010-4	80	10	6.35	105	145	20	98	125	110	13.5	M8 x 1	1 x 4	6219	26049
	SFU 8020-4	80	20	9.525	125	165	25	154	145	130	13.5	M8 x 1	1 x 4	10665	38018

2.5. Tableau des tailles pour les vis à billes DFU

High Technology for Professionals



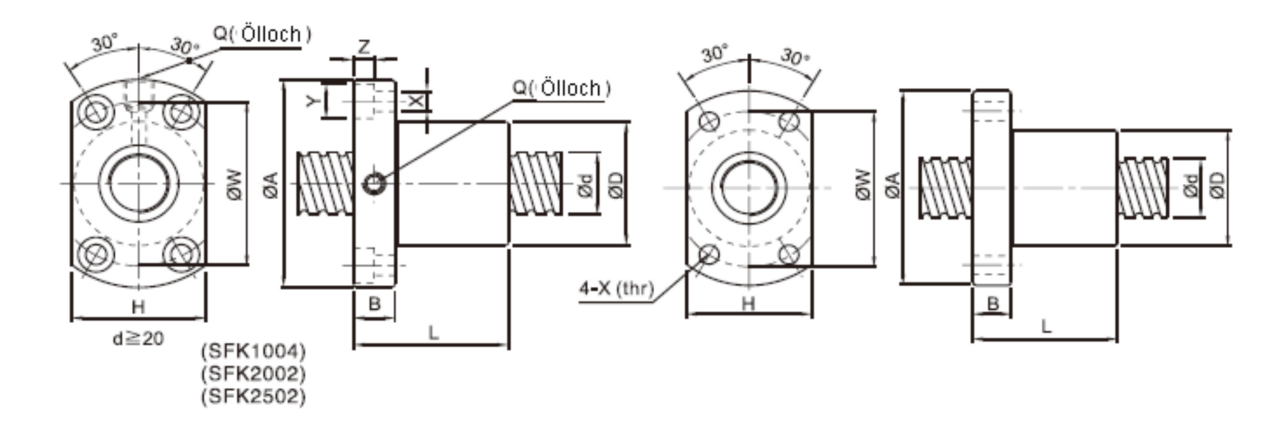
I = guidage // Da = diamètre de la bille // N = nombre de circuits // K = rigidité ($Kgf/\mu m$) Ca = charge dynamique de base (kgf) // Coa: charge statique de base (kgf)

unité: mm

	Numéro	d	,	Da					Dime	nsions				capa de cl	
	de modèle	u		Da	D	A	В	L	w	н	x	Q	n	Ca (kgf)	Coa (kgf)
	DFU 1604-3		4	2.381	28	48	10	80	38	40	5	M6 x 1	1 x 3	488	940
☆	DFU 1605-4	16	5	3.175	28	48	10	100	38	40	5	M6 x 1	1 x 4	1123	2288
☆	DFU 1610-3		10	3.175	28	48	10	118	38	40	5	M6 x 1	1 x 3	716	1232
	DFU 2004-3	20	4	2.381	36	58	10	80	47	44	6.6	M6 x 1	1 x 3	541	1187
☆	DFU 2005-4	20	5	3.175	36	58	10	101	47	44	6.6	M6 x 1	1 x 4	1268	2291
	DFU 2504-3		4	2.381	40	62	10	80	51	48	6.6	M6 x 1	1 x 3	605	1534
☆	DFU 2505-4	25	5	3.175	40	62	10	101	51	48	6.6	M6 x 1	1 x 4	1420	3872
☆	DFU 2510-4		10	4.762	40	62	12	145	51	48	6.6	M6 x 1	1 x 4	2246	4157
☆	DFU 3205-4	70	5	3.175	50	80	12	102	65	62	9	M6 x 1	1 x 4	1604	5103
	DFU 3210-4	32	10	6.35	50	80	12	162	65	62	9	M6 x 1	1 x 4	3924	9152
	DFU 4005-4	40	5	3.175	63	93	14	105	78	70	9	M8 x 1	1 x 4	1786	6512
	DFU 4010-4	40	10	6.35	63	93	14	165	78	70	9	M8 x 1	1 x 4	4417	11969
	DFU 5010-4	50	10	6.35	75	110	16	171	93	85	11	M8 x 1	1 x 4	4947	15488
	DFU 6310-4	63	10	6.35	90	125	18	182	108	95	11	M8 x 1	1 x 4	5586	20417
	DFU 6320-4	03	20	9.525	95	135	20	290	115	100	13.5	M8 x 1	1 x 4	9397	28512
	DFU 8010-4	80	10	6.35	105	145	20	182	125	110	13.5	M8 x 1	1 x 4	6219	26049
	DFU 8020-4	80	20	9.525	125	165	25	295	145	130	13.5	M8 x 1	1 x 4	10665	38018
	Remarque: Le caract	ère ☆ p	ermet o	de créer un	tour à g	auche.									

Remarque: Le caractère 🌣 permet de créer un tour à gauche.

2.6. Tableau des tailles pour les vis à billes SFK

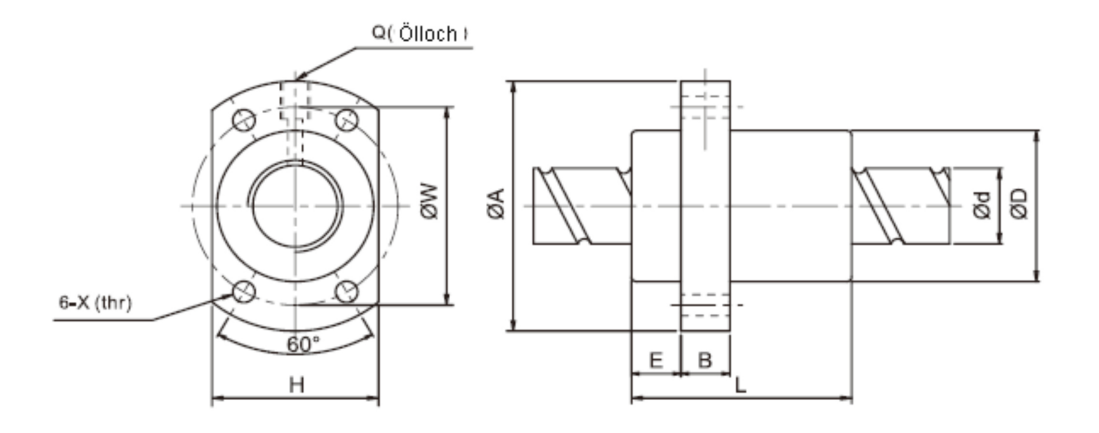


I = guidage // Da = diamètre de la bille // N = nombre de circuits // K = rigidité (Kgf/μm) Ca = charge dynamique de base (kgf) // Coa: charge statique de base (kgf)

unité: mm

Numéro	d		Da						Dimens	ions						acité narge
de modèle	u		Da	D	A	В	L	w	н	x	Y	z	Q	n	Ca (kgf)	Coa (kgf)
SFK0401	4	1	8.0	10	20	3	12	15	14	2.9	-	-	-	1 x 2	64	97
SFK0601	6	1	0.8	12	24	3.5	15	18	16	3.4	-	-	-	1 x 3	111	224
SFK0801		1	8.0	14	27	4	16	21	18	3.4	-	-	-	1 x 4	161	403
SFK0802	8	2	1.2	14	27	4	16	21	18	3.4	-	-	-	1 x 3	222	458
SFK082.5		2.5	1.2	16	29	4	26	23	20	3.4	-	-	-	1 x 3	221	457
SFK1002	10	2	1.2	18	35	5	28	27	22	4.5	-	-	-	1 x 3	243	569
SFK1004	10	4	2	26	46	10	34	36	28	4.5	8	4.5	M6	1 x 3	468	905
SFK1204		2	1.2	20	37	5	28	29	24	4.5	-	-	-	1 x 4	334	906
SFK1205	12	4	2.5	24	40	6	28	32	25	3.5	-	-	-	1 x 3	454	722
SFK1202		5	2.5	22	37	8	39	29	24	4.5	-	-	-	1 x 3	675	1316
SFK1402	14	2	1.2	21	40	6	23	31	26	5.5	-	-	-	1 x 4	354	1053
SFK1602	16	2	1.2	25	43	10	40	35	29	5.5	-	-	M6	1 x 4	373	1200
SFK2002	20	2	1.2	50	80	15	55	65	68	6.5	10.5	6	M6	1 x 6	581	2284
SFK2502	25	2	1.2	50	80	13	43	65	68	6.5	10.5	6	M6	1 x 5	540	2381

2.7. Tableau des tailles pour les vis à billes SFY

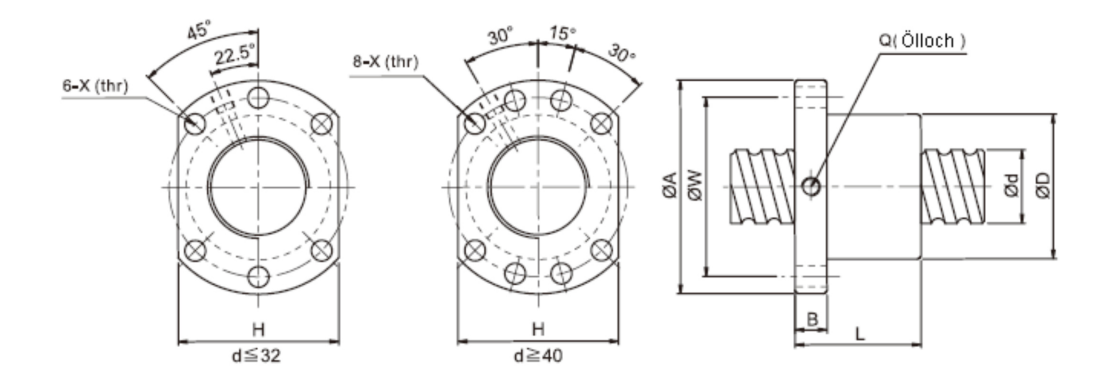


I = guidage // Da = diamètre de la bille // N = nombre de circuits // K = rigidité (Kgf/μm) Ca = charge dynamique de base (kgf) // Coa: charge statique de base (kgf)

unité: mm

Numéro	d		Da					Dir	nensio	ns					acité narge
de modèle	u		Da	D	Α	E	В	L	w	Н	х	Q	n	Ca (kgf)	Coa (kgf)
SFY1616-3.6	16	16	2.778	32	53	10.1	10	45	42	34	4.5	M6 x 1	1.8 x 2	1073	2551
SFY2020-3.6	20	20	3.175	39	62	13	10	52	50	41	5.5	M6 x 1	1.8 x 2	1387	3515
SFY2040-1.6	20	20	3.175	39	62	13	10	48	50	41	5.5	M6 x 1	0.8 x 2	653	1597
SFY2550-1.6	25	25	3.969	47	74	15	12	58	60	49	6.6	M6 x 1	0.8 x 2	976	2495
SFY2525-3.6	25	25	3.969	47	74	15	12	64	60	49	6.6	M6 x 1	1.8 x 2	2074	5494
SFY3232-3.6	32	32	4.762	58	92	17	12	78	74	60	9	M6 x 1	1.8 x 2	3021	8690
SFY4040-3.6	40	40	6.35	73	114	19.5	15	99	93	75	11	M6 x 1	1.8 x 2	4831	14062
SFY5050-3.6	50	50	7.938	90	135	21.5	20	117	112	92	14	M6 x 1	1.8 x 2	7220	21974

2.8. Tableau des tailles pour les vis à billes SFDC

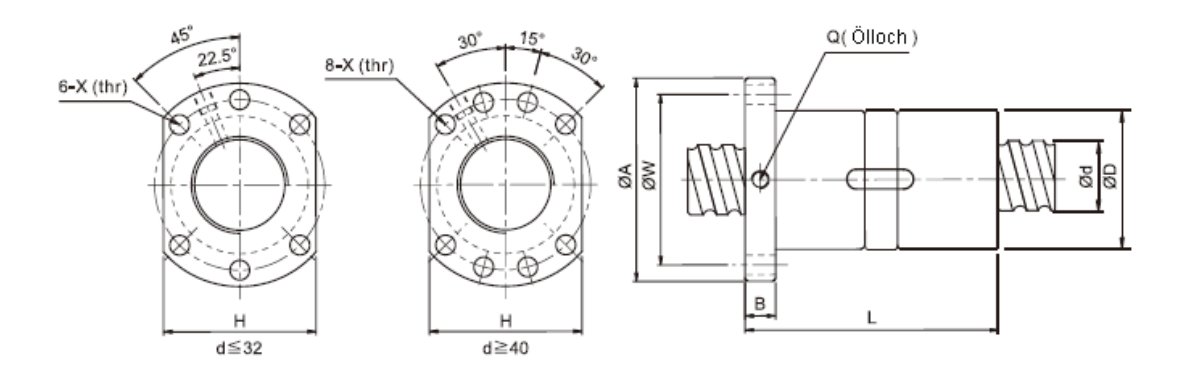


I = guidage // Da = diamètre de la bille // N = nombre de circuits // K = rigidité (Kgf/μm) Ca = charge dynamique de base (kgf) // Coa: charge statique de base (kgf)

unité: mm

Numéro	d		Da					Dime	nsions				-	acité narge	к
de modèle	•) Ja	D	A	В	L	w	x	н	Q	n	Ca (kgf)	Coa (kgf)	kgf/µm
SFDC2812-2.8		12	6.35	54	87	16	65.5	72	9	69	M8 x 1	2.8 x 1	2752	5746	43
SFDC2812-3.8		12	6.35	54	87	16	77.5	72	9	69	M8 x 1	3.8 x 1	3579	7799	59
SFDC2812-4.8	28	12	6.35	54	87	16	89.5	72	9	69	M8 x 1	4.8 x 1	4375	9851	74
SFDC2816-2.8	20	16	4.762	48	74	12	74.5	60	6.6	60	M8 x 1	2.8 x 1	1855	3589	41
SFDC2816-3.8		16	4.762	48	74	12	90.5	60	6.6	60	M8 x 1	3.8 x 1	2412	4871	55
SFDC2816-4.8		16	4.762	48	74	12	106.5	60	6.6	60	M8 x 1	4.8 x 1	2949	6153	70
SFDC3210-2.8		10	4.762	58	91	18	57	76	9	68	M8 x 1	2.8 x 1	1955	4041	45
SFDC3210-3.8		10	4.762	58	91	18	67	76	9	68	M8 x 1	3.8 x 1	2542	5485	61
SFDC3210-4.8		10	4.762	58	91	18	77	76	9	68	M8 x 1	4.8 x 1	3107	6928	77
SFDC3205-2.8		5	3.175	50	87	16	39	72	9	68	M8 x 1	2.8 x 1	1118	2653	43
SFDC3205-3.8		5	3.175	50	87	16	44	72	9	69	M8 x 1	3.8 x 1	1454	3600	58
SFDC3205-4.8	32	5	3.175	50	87	16	49	72	9	69	M8 x 1	4.8 x 1	1778	4547	73
SFDC3212-2.8	32	12	4.762	53	87	16	40.5	72	9	69	M8 x 1	2.8 x 1	1956	4049	45
SFDC3212-3.8		12	4.762	53	87	16	64.5	72	9	69	M8 x 1	3.8 x 1	2544	5496	61
SFDC3212-4.8		12	4.762	53	87	16	88.5	72	9	69	M8 x 1	4.8 x 1	3110	6942	77
SFDC3216-2.8		16	6.35	57	87	16	77.5	72	9	69	M8 x 1	2.8 x 1	2915	11226	48
SFDC3216-3.8		16	6.35	57	87	16	93.5	72	9	69	M8 x 1	3.8 x 1	3790	8887	66
SFDC3216-4.8		16	6.35	57	87	16	109.5	72	9	69	M8 x 1	4.8 x 1	4634	6549	83
SFDC4006-2.8		6	3.969	58	91	18	45.5	76	9	68	M8 x 1	2.8 x 1	1671	4010	52
SFDC4006-3.8		6	3.969	58	91	18	51.5	76	9	68	M8 x 1	3.8 x 1	2172	5618	70
SFDC4006-4.8		6	3.969	58	91	18	57.5	76	9	68	M8 x 1	4.8 x 1	2656	7096	88
SFDC4010-2.8		10	6.35	65	95	18	62.5	80	9	72	M8 x 1	2.8 x 1	3192	9048	57
SFDC4010-3.8		10	6.35	65	95	18	72.5	80	9	72	M8 x 1	3.8 x 1	4150	10922	77
SFDC4010-4.8	40	10	6.35	65	95	18	82.5	80	9	72	M8 x 1	4.8 x 1	5074	13797	97
SFDC4012-2.8	40	12	6.35	65	95	18	65.5	80	9	72	M8 x 1	2.8 x 1	3194	8058	57
SFDC4012-3.8		12	6.35	65	95	18	77.5	80	9	72	M8 x 1	3.8 x 1	4153	10936	77
SFDC4012-4.8		12	6.35	65	95	18	89.5	80	9	72	M8 x 1	4.8 x 1	5077	13815	97
SFDC4016-2.8		16	6.35	65	95	18	76.5	80	9	72	M8 x 1	2.8 x 1	3198	8085	57
SFDC4016-3.8		16	6.35	65	95	18	92.5	80	9	72	M8 x 1	3.8 x 1	4159	10972	77
SFDC4016-4.8		16	6.35	65	95	18	108.5	80	9	72	M8 x 1	4.8 x 1	5084	13860	97
SFDC5010-2.8		10	6.35	75	118	18	62.5	100	11	92	M8 x 1	2.8 x 1	3509	9982	67
SFDC5010-3.8	50	10	6.35	75	118	18	72.5	100	11	92	M8 x 1	3.8 x 1	4563	13547	90
SFDC5010-4.8		10	6.35	75	118	18	82.5	100	11	92	M8 x 1	4.8 x 1	5578	17112	114

2.9. Tableau des tailles pour les vis à billes DFDC



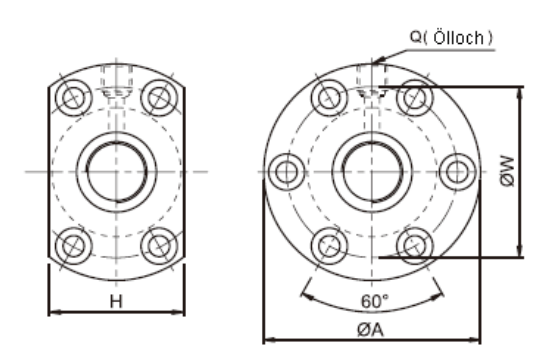
I = guidage // Da = diamètre de la bille // N = nombre de circuits // K = rigidité (Kgf/μm) Ca = charge dynamique de base (kgf) // Coa: charge statique de base (kgf)

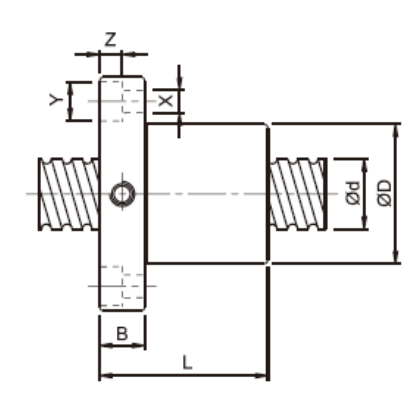
unité: mm

														unite	e: mm
Numéro	d	,	Da					Dimen	sions					acité narge	К
de modèle	u	ľ	Da	D	A	В	L	w	н	x	Q	n	Ca (kgf)	Coa (kgf)	kgf/µm
DFDC2812-2.8		12	6.35	54	87	16	125.5	72	69	9	M8 x 1	2.8 x 1	2752	5746	66
DFDC2812-3.8		12	6.35	54	87	16	149.5	72	69	9	M8 x 1	3.8 x 1	3579	7799	90
DFDC2812-4.8	28	12	6.35	54	87	16	173.5	72	69	9	M8 x 1	4.8 x 1	4375	9851	113
DFDC2816-2.8	20	16	4.762	48	74	12	143	60	60	6.6	M8 x 1	2.8 x 1	1855	3589	63
DFDC2816-3.8		16	4.762	48	74	12	175	60	60	6.6	M8 x 1	3.8 x 1	2412	4871	85
DFDC2816-4.8		16	4.762	48	74	12	207	60	60	6.6	M8 x 1	4.8 x 1	2949	6153	108
DFDC3210-2.8		10	4.762	58	91	18	107.5	76	68	9	M8 x 1	2.8 x 1	1955	4041	69
DFDC3210-3.8		10	4.762	58	91	18	127.5	76	68	9	M8 x 1	3.8 x 1	2542	5485	94
DFDC3210-4.8		10	4.762	58	91	18	147.5	76	68	9	M8 x 1	4.8 x 1	3107	6928	119
DFDC3205-2.8		5	3.175	50	87	16	71.5	72	68	9	M8 x 1	2.8 x 1	1118	2653	52
DFDC3205-3.8		5	3.175	50	87	16	81.5	72	69	9	M8 x 1	3.8 x 1	1454	3600	71
DFDC3205-4.8	32	5	3.175	50	87	16	91.5	72	69	9	M8 x 1	4.8 x 1	1778	4547	90
DFDC3212-2.8	32	12	4.762	53	87	16	124.5	72	69	9	M8 x 1	2.8 x 1	1956	4049	69
DFDC3212-3.8		12	4.762	53	87	16	148.5	72	69	9	M8 x 1	3.8 x 1	2544	5496	94
DFDC3212-4.8		12	4.762	53	87	16	172.5	72	69	9	M8 x 1	4.8 x 1	3110	6942	119
DFDC3216-2.8		16	6.35	57	87	16	149.5	72	69	9	M8 x 1	2.8 x 1	2915	11226	74
DFDC3216-3.8		16	6.35	57	87	16	181.5	72	69	9	M8 x 1	3.8 x 1	3790	8887	100
DFDC3216-4.8		16	6.35	57	87	16	213.5	72	69	9	M8 x 1	4.8 x 1	4634	6549	126
DFDC4006-2.8		6	3.969	58	91	18	60.5	76	68	9	M8 x 1	2.8 x 1	1671	4010	80
DFDC4006-3.8		6	3.969	58	91	18	84.5	76	68	9	M8 x 1	3.8 x 1	2172	5618	108
DFDC4006-4.8		6	3.969	58	91	18	108.5	76	68	9	M8 x 1	4.8 x 1	2656	7096	136
DFDC4010-2.8		10	6.35	65	95	18	117.5	80	72	9	M8 x 1	2.8 x 1	3192	9048	87
DFDC4010-3.8		10	6.35	65	95	18	137.5	80	72	9	M8 x 1	3.8 x 1	4150	10922	118
DFDC4010-4.8	40	10	6.35	65	95	18	157.5	80	72	9	M8 x 1	4.8 x 1	5074	13797	149
DFDC4010-2.8	40	12	6.35	65	95	18	125.5	80	72	9	M8 x 1	2.8 x 1	3194	8058	87
DFDC4012-3.8		12	6.35	65	95	18	149.5	80	72	9	M8 x 1	3.8 x 1	4153	10936	118
DFDC4012-4.8		12	6.35	65	95	18	173.5	80	72	9	M8 x 1	4.8 x 1	5077	13815	149
DFDC4012-2.8		16	6.35	65	95	18	148.5	80	72	9	M8 x 1	2.8 x 1	3198	8085	87
DFDC4016-3.8		16	6.35	65	95	18	180.5	80	72	9	M8 x 1	3.8 x 1	4159	10972	118
DFDC4016-4.8		16	6.35	65	95	18	212.5	80	72	9	M8 x 1	4.8 x 1	5084	13860	149
DFDC5010-2.8		10	6.35	75	118	18	117.5	100	92	11	M8 x 1	2.8 x 1	3509	9982	104
DFDC5010-3.8	50	10	6.35	75	118	18	137.5	100	92	11	M8 x 1	3.8 x 1	4563	13547	141
DFDC5010-4.8		10	6.35	75	118	18	157.5	100	92	11	M8 x 1	4.8 x 1	5578	17112	178

High Technology for Professionals

2.10. Tableau des tailles pour les vis à billes SFI





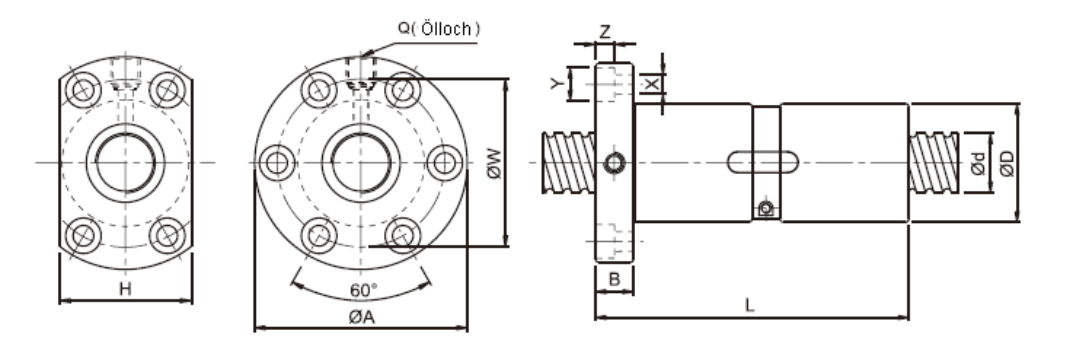
I = guidage // Da = diamètre de la bille // N = nombre de circuits // K = rigidité (Kgf/μm) Ca = charge dynamique de base (kgf) // Coa: charge statique de base (kgf)

unité: mm

	Numéro	d		Da					ı	Dimens	sions						acité narge
	de modèle	u		Da	D	A	В	L	w	н	x	Y	z	Q	n	Ca (kgf)	Coa (kgf)
☆	SFI1605-4	16	5	3.175	30	49	10	50	39	34	4.5	8	4.5	M6 x 1	1 x 4	1127	2288
☆	SFI1610-3	10	10	3.175	34	58	10	57	45	34	5.5	9.5	5.5	M6 x 1	1 x 3	909	1848
☆	SFI2005-4	20	5	3.175	34	57	11	51	45	40	5.5	9.5	5.5	M6 x 1	1 x 4	1268	2991
☆	SFI2505-4	25	5	3.175	40	63	11	51	51	46	5.5	9.5	5.5	M8 x 1	1 x 4	1420	3872
☆	SFI2510-4	25	10	4.762	46	72	12	85	58	52	6.5	11	6.5	M8 x 1	1 x 4	2415	5543
$\stackrel{\wedge}{\approx}$	SFI3205-4	32	5	3.175	46	72	12	52	58	52	6.5	11	6.5	M8 x 1	1 x 4	1604	5103
	SFI3210-4	32	10	6.35	54	88	15	90	70	62	9	14	8.5	M8 x 1	1 x 4	3924	9152
	SFI4005-4	40	5	3.175	56	90	15	55	72	64	9	14	8.5	M8 x 1	1 x 4	1786	6512
	SFI4010-4	40	10	6.35	62	104	18	93	82	70	11	17.5	11	M8 x 1	1 x 4	4417	1169
	SFI5010-4	50	10	6.35	72	114	18	93	92	82	11	17.5	11	M8 x 1	1 x 4	4947	15488
	SFI6310-4	63	10	6.35	85	131	22	98	107	95	14	20	13	M8 x 1	1 x 4	5586	20417
	SFI8010-4	80	10	6.35	105	150	22	98	127	115	14	20	13	M8 x 1	1 x 4	6219	26049

Remarque: Le caractère 🕏 permet de créer un tour à gauche.

2.11. Tableau des tailles pour les vis à billes DFI



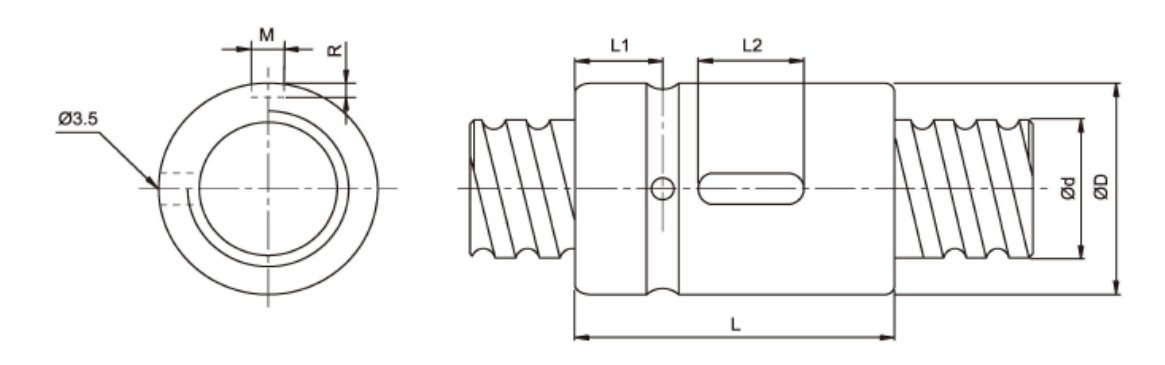
I = guidage // Da = diamètre de la bille // N = nombre de circuits // K = rigidité (Kgf/μm) Ca = charge dynamique de base (kgf) // Coa: charge statique de base (kgf)

unité: mm

Numéro	d		Da					ı	Dimen	sions					-	acité harge
de modèle	l "	•	Da	D	A	В	L	w	н	x	Y	z	Q	n	Ca (kgf)	Coa (kgf)
☆ DFI1605-4	16	5	3.175	30	49	10	10	39	34	4.5	8	4.5	M6 x 1	1 x 4	1127	2288
☆ DFI2005-4	20	5	3.175	34	57	11	101	45	40	5.5	9.5	5.5	M6 x 1	1 x 4	1268	2991
☆ DFI2505-4	25	5	3.175	40	63	11	101	51	46	5.5	9.5	5.5	M6 x 1	1 x 4	1420	3872
☆ DFI2510-4	25	10	4.762	46	72	12	145	58	52	6.5	11	6.5	M6 x 1	1 x 4	2415	5543
☆ DFI3205-4	32	5	3.175	46	72	12	102	58	52	6.5	11	6.5	M8 x 1	1 x 4	1604	5103
DFI3210-4	32	10	6.35	54	88	15	162	70	62	9	14	8.5	M8 x 1	1 x 4	3924	9152
DFI4005-4	40	5	3.175	56	90	15	105	72	64	9	14	8.5	M8 x 1	1 x 4	1786	6512
DFI4010-4	40	10	6.35	62	104	18	165	82	70	11	17.5	11	M8 x 1	1 x 4	4417	1169
DFI5010-4	50	10	6.35	72	114	18	171	92	82	11	17.5	11	M8 x 1	1 x 4	4947	15488
DFI6310-4	63	10	6.35	85	131	22	182	107	95	14	20	13	M8 x 1	1 x 4	5586	20417
DFI8010-4	80	10	6.35	105	150	22	182	127	115	14	20	13	M8 x 1	1 x 4	6219	26049

Remarque: Le caractère 🕏 permet de créer un tour à gauche.

2.12. Tableau des tailles pour les vis à billes SCI



I = guidage // Da = diamètre de la bille // N = nombre de circuits // K = rigidité (Kgf/μm) Ca = charge dynamique de base (kgf) // Coa: charge statique de base (kgf)

unité: mm

	Numéro	d		Da				Dimens	ions			capa de ch	acité narge
	de modèle	u		Da	D	L	L1	L2	М	R	n	Ca (kgf)	Coa (kgf)
	SCI01604-4	16	4	2.381	30	40	9	15	3	1.5	1 x 4	973	2406
☆	SCI01605-4	10	5	3.175	30	45	9	20	5	3	1 x 4	1380	3052
	SCI02004-4	20	4	2.381	34	40	9	15	3	1.5	1 x 4	1066	2987
☆	SCI02005-4	20	5	3.175	34	45	9	20	5	3	1 x 4	1551	3875
	SCI02504-4		4	2.381	40	40	9	15	3	1.5	1 x 4	1180	3795
$\stackrel{\wedge}{\approx}$	SCI02505-4	25	5	3.175	40	45	9	20	5	3	1 x 4	1724	4904
	SCI02510-4		10	4.762	46	85	13	30	5	3	1 x 4	2954	7295
☆	SCI03205-4	32	5	3.175	46	45	9	20	5	3	1 x 4	1922	6343
	SCI03210-4	32	10	6.35	54	85	13	30	5	3	1 x 4	4805	12208
	SCI04005-4	40	5	3.175	56	45	9	20	5	3	1 x 4	21110	7988
	SCI04010-4	40	10	6.35	62	85	13	30	5	3	1 x 4	5399	15500
	SCI05010-4	50	10	6.35	72	85	13	30	5	3	1 x 4	6004	19614
	SCI06310-4	63	10	6.35	85	85	13	30	6	3.5	1 x 4	6719	25358
	SCI08010-4	80	10	6.35	105	85	13	30	8	4.5	1 x 4	7346	31953

Remarque: Le caractère & permet de créer un tour à gauche.

info@mtoswiss.ch www.mtoswiss.ch 30

Unités de palier pour vis à billes

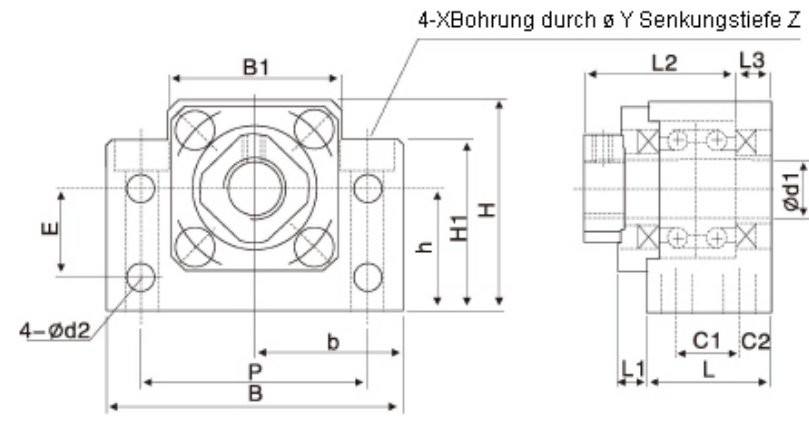
High Technology for Professionals

1.1. BK

Unité de palier fixe





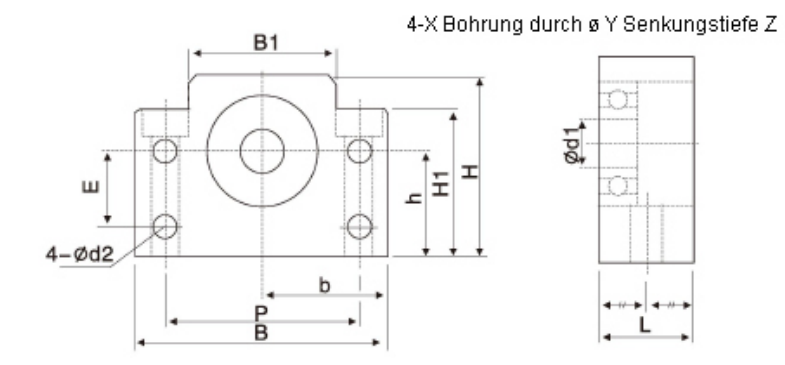


unité:	mm

Numéro de modèle	d1	L	L1	L2	L3	C1	C2	В	Н	b ^{±0.02}	h ^{±0.02}	B1	H1	E	Р	d2	X	Υ	Z
BK 10	10	25	5	29	5	13	6	60	39	30	22	34	32.5	15	46	5.5	6.6	10.8	5
BK 12	12	25	5	29	5	13	6	60	43	30	25	34	32.5	18	46	5.5	6.6	10.8	1.5
BK 15	15	27	6	32	6	15	6	70	48	35	28	40	38	18	54	5.5	6.6	11	6.5
BK 17	17	35	9	44	7	19	8	86	64	43	39	50	55	28	68	6.6	9	14	8.5
BK 20	20	35	8	43	8	19	8	88	60	44	34	52	50	22	70	6.6	9	14	8.5
BK 25	25	42	12	54	9	22	10	106	80	53	48	64	70	33	85	9	11	17.5	11
BK 30	30	45	14	61	9	23	11	128	89	64	51	76	78	33	102	11	14	20	13
BK 35	35	50	14	67	12	26	12	140	96	70	52	88	79	35	114	11	14	20	13
BK 40	40	61	18	7	15	33	14	160	110	80	60	100	90	37	130	14	18	26	17.5

BF Unité de palier libre



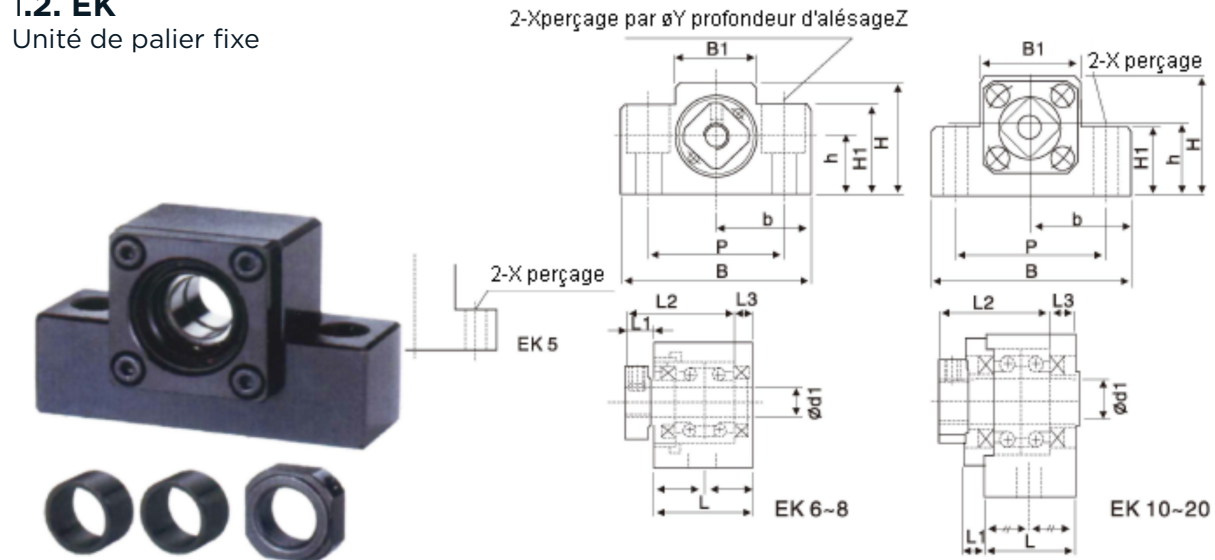


unité: mm

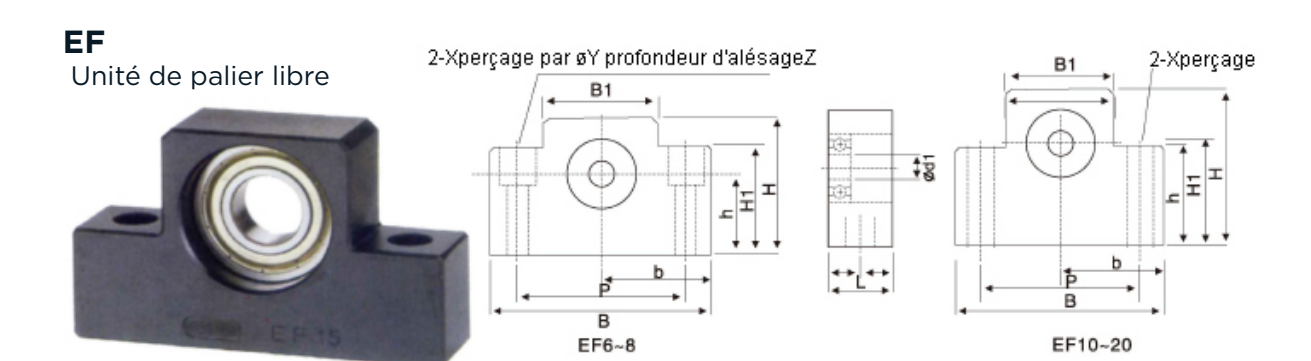
Numéro de modèle	d1	L	В	Н	b ^{±0} •02	h ^{±0.02}	B1	H1	E	Р	d2	Х	Υ	z
BK 10	8	20	60	39	30	22	34	32.5	15	46	5.5	6.6	10.8	5
BK 12	10	20	60	43	30	25	34	32.5	18	46	5.5	6.6	10.8	1.5
BK 15	15	20	70	48	35	28	40	38	18	54	5.5	6.6	11	6.5
BK 17	17	23	86	64	43	39	50	55	28	68	6.6	9	14	8.5
BK 20	20	26	88	60	44	34	52	50	22	70	6.6	9	14	8.5
BK 25	25	30	106	80	53	48	64	70	33	85	9	11	17.5	11
BK 30	30	32	128	89	64	51	76	78	33	102	11	14	20	13
BK 35	35	32	140	96	70	52	88	79	35	114	11	14	20	13
BK 40	40	37	160	110	80	60	100	90	37	130	14	18	26	17.5

info@mtoswiss.ch 31 www.mtoswiss.ch



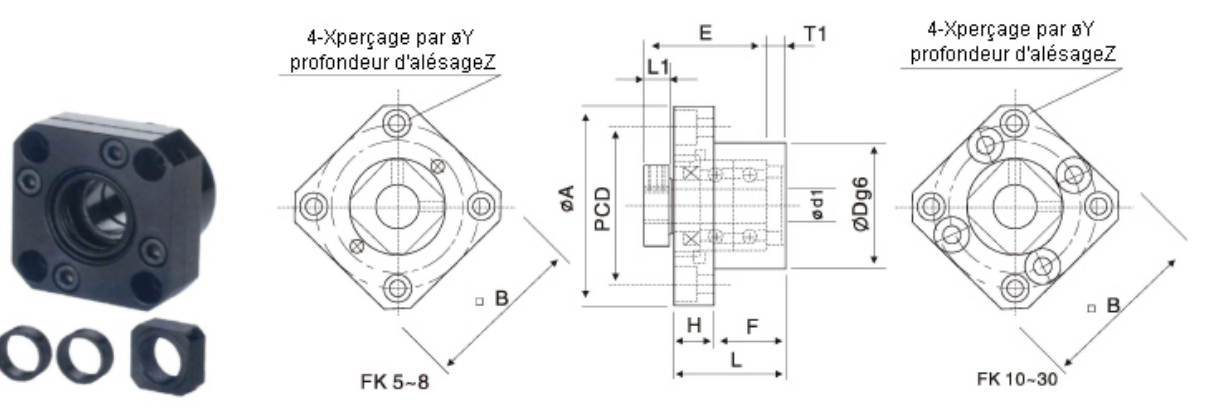


																	1	unité:	: mm
Numéro de modèler	d1	L	L1	L2	L3	C1	C2	В	Н	b ^{±0.02}	h ^{±0.02}	В1	H1	E	Р	d2	Х	Υ	z
BK 10	10	25	5	29	5	13	6	60	39	30	22	34	32.5	15	46	5.5	6.6	10.8	5
BK 12	12	25	5	29	5	13	6	60	43	30	25	34	32.5	18	46	5.5	6.6	10.8	1.5
BK 15	15	27	6	32	6	15	6	70	48	35	28	40	38	18	54	5.5	6.6	11	6.5
BK 17	17	35	9	44	7	19	8	86	64	43	39	50	55	28	68	6.6	9	14	8.5
BK 20	20	35	8	43	8	19	8	88	60	44	34	52	50	22	70	6.6	9	14	8.5
BK 25	25	42	12	54	9	22	10	106	80	53	48	64	70	33	85	9	11	17.5	11
BK 30	30	45	14	61	9	23	11	128	89	64	51	76	78	33	102	11	14	20	13
BK 35	35	50	14	67	12	26	12	140	96	70	52	88	79	35	114	11	14	20	13
BK 40	40	61	18	7	15	33	14	160	110	80	60	100	90	37	130	14	18	26	17.5



													unit	é: mm
Numéro de modèle	d1	L	В	н	b ^{±0.02}	h ^{±0.02}	B1	H1	E	Р	d2	Х	Υ	z
BK 10	8	20	60	39	30	22	34	32.5	15	46	5.5	6.6	10.8	5
BK 12	10	20	60	43	30	25	34	32.5	18	46	5.5	6.6	10.8	1.5
BK 15	15	20	70	48	35	28	40	38	18	54	5.5	6.6	11	6.5
BK 17	17	23	86	64	43	39	50	55	28	68	6.6	9	14	8.5
BK 20	20	26	88	60	44	34	52	50	22	70	6.6	9	14	8.5
BK 25	25	30	106	80	53	48	64	70	33	85	9	11	17.5	11
BK 30	30	32	128	89	64	51	76	78	33	102	11	14	20	13
BK 35	35	32	140	96	70	52	88	79	35	114	11	14	20	13
BK 40	40	37	160	110	80	60	100	90	37	130	14	18	26	17.5

1.3. FK Unité de palier fixe

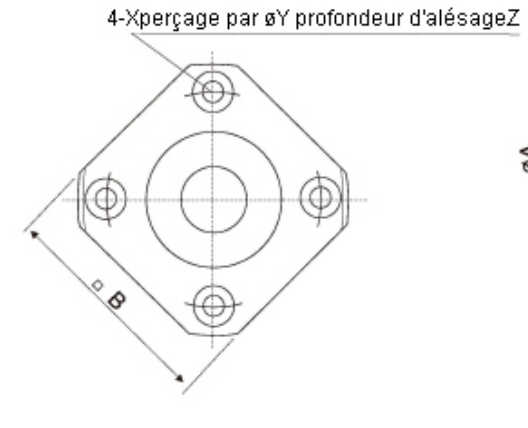


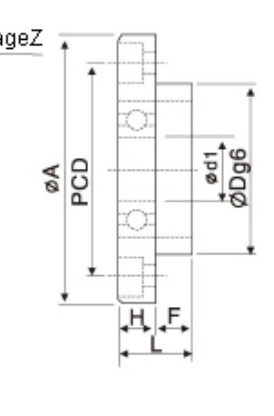
unité: mm

Numéro de modèle	d1	L	Н	F	E	Dg6	Α	PCD	В	L1	T1	X	Υ	Z
FK 5	5	16.5	6	10.5	18.5	20	34	26	26	5.5	3.5	3.4	6.5	4
FK 6	6	20	7	13	22	22	36	28	28	5.5	3.5	3.4	6.5	4
FK 8	8	23	9	14	26	28	43	35	35	7	4	3.4	6.5	4
FK 10	10	27	10	17	29.5	34	52	42	42	7.5	5	4.5	8	4
FK 12	12	27	10	17	29.5	36	54	44	44	7.5	5	4.5	8	4
FK 15	15	32	15	17	36	40	63	50	52	10	6	5.5	9.5	6
FK 17	17	45	22	23	47	50	77	62	61	11	9	6.6	11	10
FK 20	20	52	22	30	50	57	85	70	68	8	10	6.6	11	10
FK 25	25	57	27	30	60	63	98	80	79	13	10	9	15	13
FK 30	30	62	30	32	61	75	117	95	93	11	12	11	17.5	15

Unité de palier libre







unité: mm

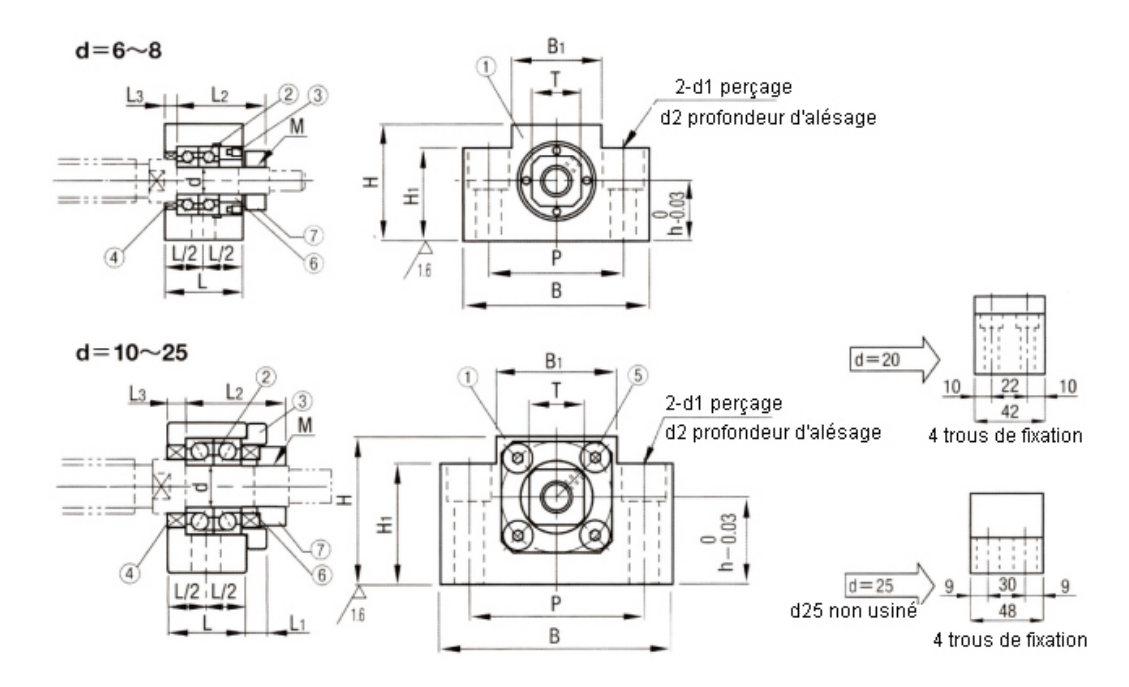
Numéro de modèle	d1	L	Н	F	Dg6	Α	PCD	В	х	Υ	z
FF 6	6	10	6	4	22	36	28	28	3.4	6.5	4
FF 10	8	12	7	5	28	43	35	35	3.4	6.5	4
FF 12	10	15	7	8	34	52	42	42	4.5	8	4
FF 15	15	17	9	8	40	63	50	52	5.5	9.5	5.5
FF 17	17	20	11	9	50	77	62	61	6.6	11	6.5
FF 20	20	20	11	9	57	85	70	68	6.6	11	6.5
FF 25	25	24	14	10	63	98	80	79	9	14	8.5
FF 30	30	27	18	9	75	117	95	93	11	17.5	11

1.4. Unité de soutien AK

(côté fixe, type rectangulaire)

fig. no.	Nom du composant	nombre
1	Boîtier	1
2	Palier	Satz
3	Couvercle du boîtier	1
4	Douille	2
5	Joint	1
6	Écrou de sécurité	Satz
7	vis sans tête à six pans creux	2





ın	i+á·	m	m
 uп	ııte:	- 11	

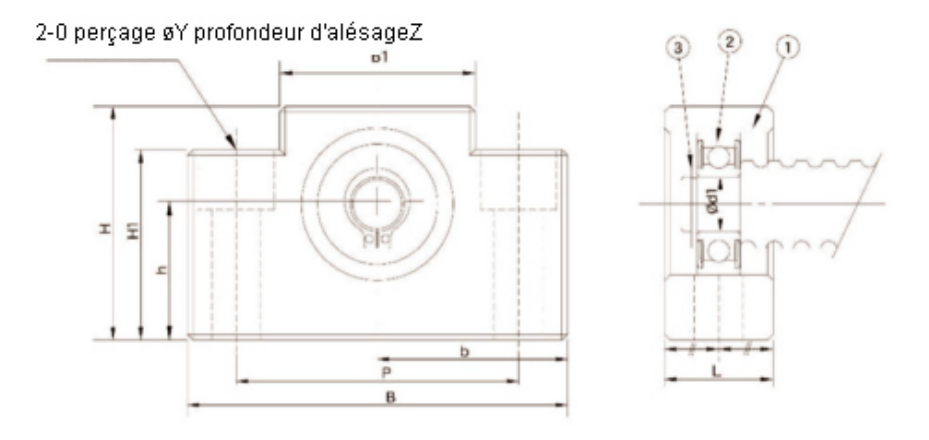
Numéro de modèle	Arbres diamètre d1	L	L1	L2	L3	В	н	h	B1	н1	P	d1	d2	е	Filetage des vis M	т	Joint d'arbre (Appl. Ø de l'axe)
AK6	6	20	-	22.5	3.5	42	25	13	18	20	30	5.5	9.5		M6 x 0.75	12	-
AK8	8	23	-	26	4	52	32	17	25	26	38	6.6	11		M8 x 1.0	14	10 11.54
AK10	10	24	6	29.5	6	6	40 43	22 25	36	32 35	52	9	14	11	M10 x 1.0	17	14 12 14
AK12	12						41 43	23 25		33 35					M12 x 1.0	19	15
AK15	15	25	6	38	5	80	46 48 50	26 28	41	36 38 40	60	11	17	15	M15 x 1.0	22	20
AK20	20	42	10	52	10	95	58	*30	56	45	75				M20 x 1.0	30	25
AK25	25	48	13	59	14	105	68	35	66	25	85	11	-	-	M25 x 1.5	35	31

Unité de soutien AK

(côté soutenu, type rectangulaire)

High Technology for Professionals





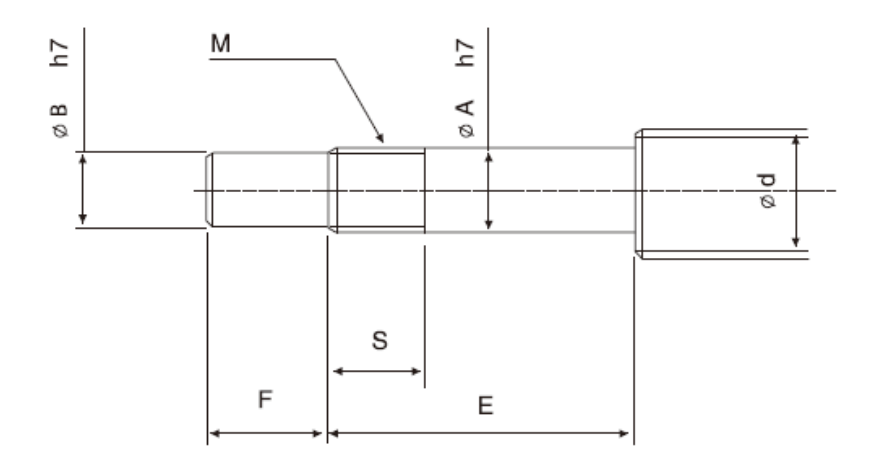
unité: mm

Numéro de modèle	Arbres diamètre d1	L	В	н	b ^{±0.02}	h ^{±0.02}	B1	Н1	Р	х	Υ	z	Palier	Schnappen	Poids (kg)
AF10	8	20	70	43	35	25	36	35	52	9	14	11	608ZZ	S08	0.37
AF12	10	20	70	43	35	25	36	35	52	9	14	11	6000ZZ	S10	0.37
AF15	15	20	80	49	40	30	41	40	60	9	14	11	6002ZZ	S15	0.45
AF20	20	26	95	58	47.5	30	56	45	75	11	17	15	6204ZZ	S20	0.75
AF25	25	30	105	68	52.5	35	66	25	85	11	-	-	6205ZZ	S25	0.95

Domarque

L'utilisation de (préfixe 6) roulements à billes à gorge profonde jeu axial maximal de 0,05-0. 01 mm.

1.5. Taille recommandée pour la finition des vis à billes



unité: mm

Numéro de modèle	Tige filetée à billes OD	section de soutien de l'arbre OD				Tête de vis	métrique
ВК Тур	d	Α	В	E	F	M	s
BK 10	12/14/15	10	8	36	15	M10 x 1	16
BK 12	14/15/16	12	10	36	15	M12 x 1	14
BK 15	18/20	15	12	40	20	M15 x 1	12
BK 17	20/25	17	15	53	23	M17 x 1	17
BK 20	25/2	20	17	53	25	M20 x 1	15
BK 25	32/36	25	20	65	30	M25 x 1.5	18
BK 30	36/40	30	25	72	38	M30 x 1.5	25
BK 35	45	35	30	81	45	M35 x 1.5	18
BK 40	50	40	35	93	50	M40 x 1.5	35

unité: mm

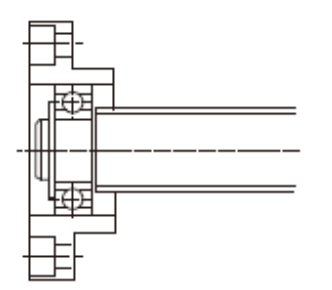
Numéro de	modèle	Tige filetée à billes OD	section de soutien de l'arbre OD				Tête de vis	s métrique
Type FK	Type EK	d	Α	В	E	F	M	S
FK 6	EK6	8	6	4	28	8	M6 x 0.75	8
FK 8	EK8	10/12	8	6	32	9	M8 x 1	10
FK 10	EK10	12/14/15	10	8	36	15	M10 x 1	11
FK 12	EK12	14/15/16	12	10	36	15	M12 x 1	11
FK 15	EK15	18/20	15	12	47	20	M15 x 1	13
FK 17	-	20/25	17	15	58	23	M17 x 1	15
FK 20	EK20	25/28/30	20	17	62	25	M20 x 1	17
FK 25	-	30/32/36	25	20	76	30	M25 x 1.5	20
FK 30	-	66/40	30	25	72	38	M30 x 1.5	25

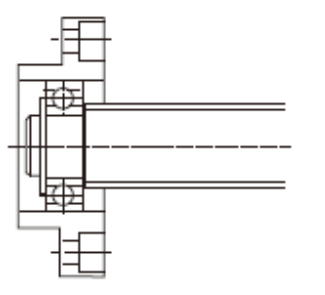
www.mtoswiss.ch 36 info@mtoswiss.ch

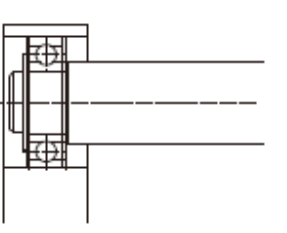
Taille recommandée pour la finition des vis à billes

High Technology for Professionals

Unité de palier libre







Type FF

Type EF

Type EF Type BF

	Numéro de modèle		Tige filetée à billes OD	section de soutien de l'arbre OD
Type FF	Type EF	Type BF	d	Α
FF10	EF10	BF10	12/14/15	8
FF12	EF12	BF12	14/15/16	10
FF15	EF15	BF15	18/20	15
FF17	-	BF17	20/25	17
FF20	EF20	(BF20)*	25/28/30	20
FF25	-	BF25	30/32/36	25
FF30	-	BF30	36/40	30
-	-	BF33	40/45	35
-	-	BF40	50	40

G ±0.14 F ±0.2 F ±0.2

Remarque:

Dans ce tableau, les dimensions entre parenthèses sont les dimensions du type BF20.

Ces dimensions sont différentes de celles des types FF20 et EF20.

Lors de la commande, il faut toujours indiquer le numéro de modèle de l'unité de soutien à utiliser..

unité: mm

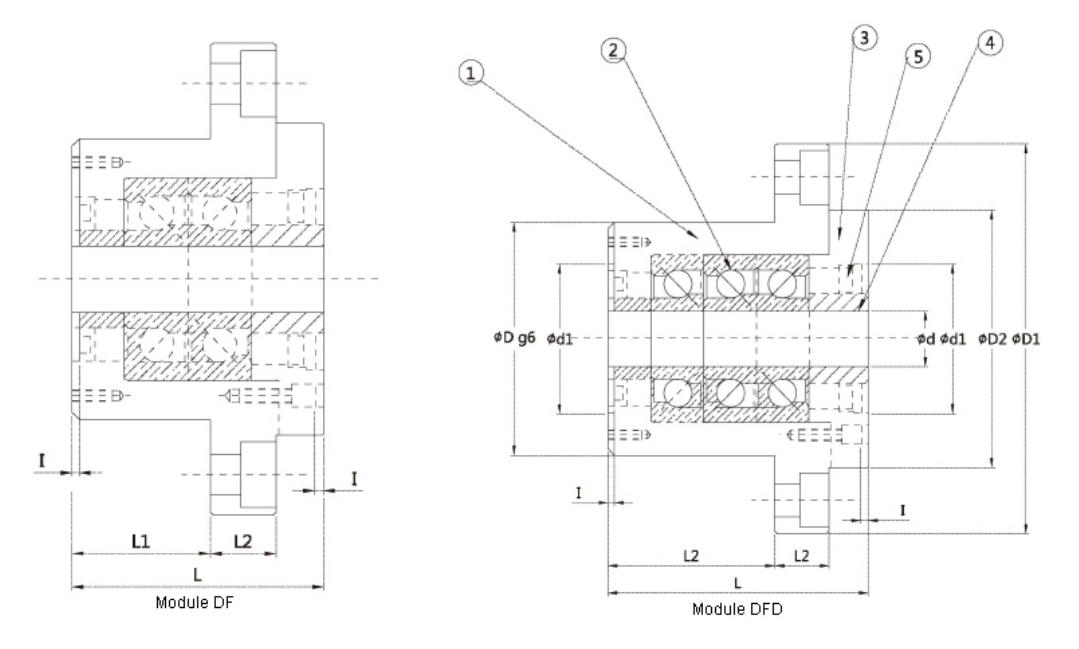
Anneaux de retenue											
E	В	F	G								
10	7.6	7	0.9								
11	9.6	8	1.15								
13	14.3	9	1.15								
16	16.2	12	1.15								
19 (16)	19	14(12)	1.35								
20	23.9	15	1.35								
21	28.6	16	1.75								
22	33	17	1.75								
23	38	18	1.75								

www.mtoswiss.ch 37 info@mtoswiss.ch

1.6. Support de charge élevé WBK



fig. no.	Nom du composant	nombre			
1	Boîtier	1			
2	Palier	1 Satz			
3	Couvercle de boîtier	1			
4	Douille	2			
5	Joint	2			
6	Écrou de sécurité	1 Satz			
7	vis sans tête à six pans creux	4			



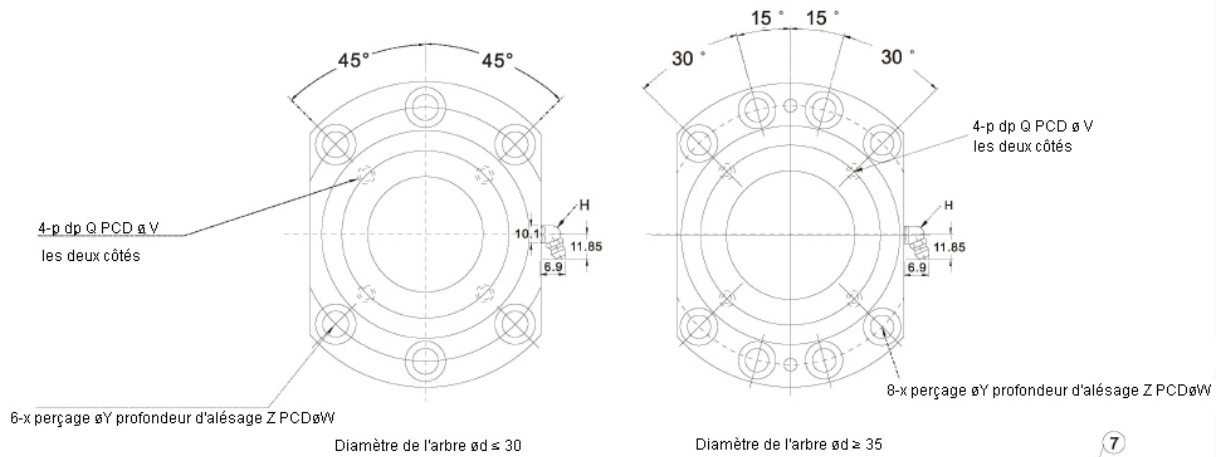
unité: mm

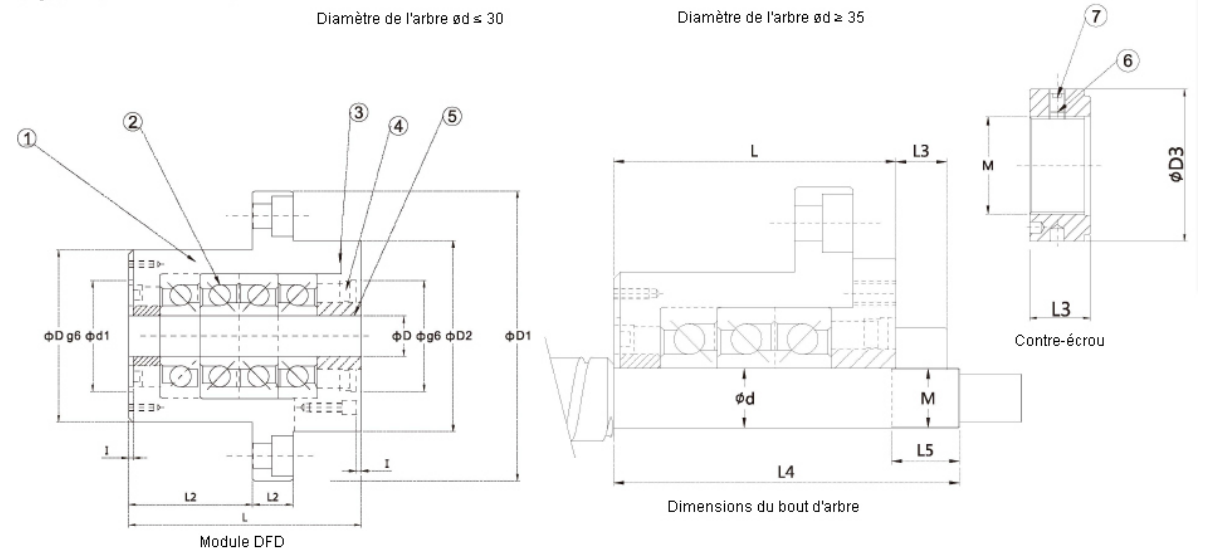
Numéro		Dimensions de l'unité de soutien																
de modèle	d	D	D1	D2	L	L1	L2	Α	W	Χ	Υ	Z	d1	- 1	٧	Р	Q	Н
WBK 17DF	17	70	106	72	60	32	15	80	88	9	14	8.5	45	3	58	M5	10	M6
WBK 20DF	20	70	106	72	60	32	15	80	88	9	14	8.5	45	3	58	M5	10	M6
WBK 25DF					66	33												
WBK 25DFD	25	85	130	90	81	48	18	100	110	11	17	11	57	4	70	M6	12	M6
WBK 25DFF					96	48												
WBK 30DF					66	33												
WBK 30DFD	30	85	130	90	81	48	18	100	110	11	17	11	57	4	70	M6	12	M6
WBK 30DFF					96	48												
WBK 35 DF					66	33												
WBK 35DFD	35	95	42	102	81	48	18	106	121	11	17	11	69	4	80	M6	12	M6
WBK 35DFF					96	48												
WBK 40DF					66	33												
WBK 40DFD	40	95	142	102	81	48	18	106	121	11	17	11	69	4	80	M6	12	M6
WBK 40DFF					96	48												

Remarques :

Les roulements internes utilisent des roulements à billes de contact de haute précision P4 degrés TAC 60 degrés. Le type standard est sans H, si nécessaire, veuillez nous en informer à l'avance.

Support de charge élevé WBK



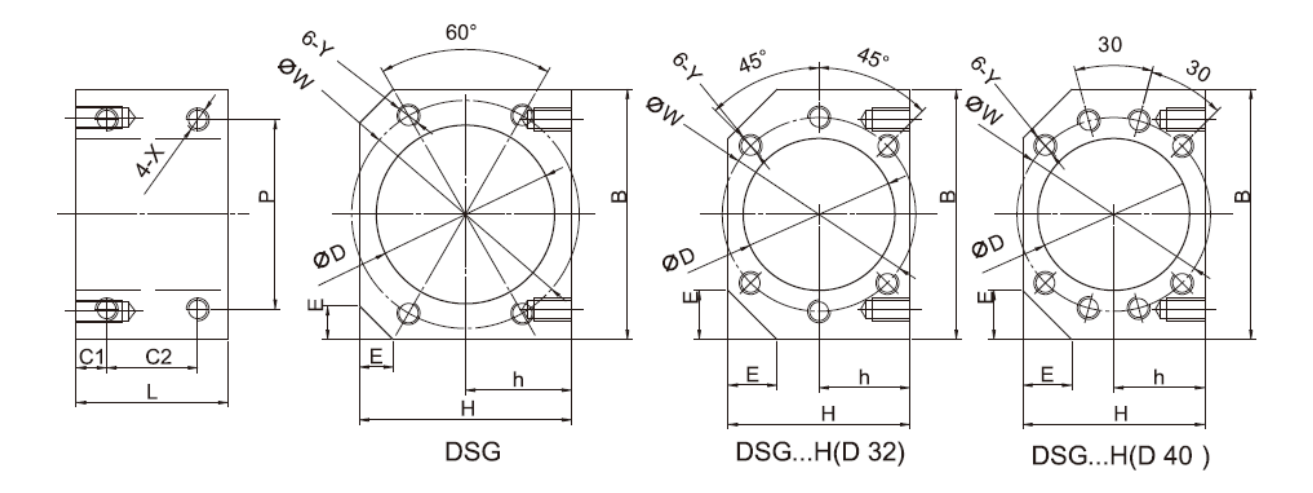


Numéro de modèle	Dyn. Autorisé Précharge Rigidité Couple de charge axiale rotation Starling			Contre	u	Poids (kg)	Dimensions du bout d'arbre									
de modele	Ca (kgf)	(kgf)	(kgf)	(kgf-um)	(kgf-cm)	М	D3	L3	(kg)	d	L4	L5				
WBK 17DF	2240	2710	220	75	1 ~ 1.9	M17 x 1	37	18	1.97	17	81	23				
WBK 20DF	2240	2710	220	75	1 ~ 1.9	M20 x 1	40	18	1.97	20	81	23				
WBK 25DF	2910	4150	320	100	1.6 ~ 2.9			20	3.3		89					
WBK 25DFD	4700	8300	440	150	2.2 ~ 4	M25 x 1.5	45		20	20	20	20	20	3.85	25	104
WBK 25DFF	4700	8300	640	200	2.8 ~ 5				4.4		119					
WBK 30DF	2980	4400	340	105	1.7 ~ 3							3.4		89		
WBK 30DFD	4850	8800	460	155	2.2 ~ 4	M30 x 1.5	50	20	20	3.7	30	104	26			
WBK 30DFF	4850	8800	680	205	2.9 ~ 5.2				4.4		119					
WBK 35 DF	3150	5100	390	120	1.9 ~ 3.5		55		3.75	92	92					
WBK 35DFD	5150	10200	530	175	2.5 ~ 4.6	M35 x 1.5		22	4.4 35 5	35	107	30				
WBK 35DFF	5150	10200	780	240	3.3 ~ 6						22					
WBK 40DF	3250	5300	400	125	2 ~ 3.7				3.65		92					
WBK 40DFD	5250	10600	540	185	2.4 ~ 4.0	M40 x 1.5	60	22	4.3	40	107	30				
WBK 40DFF	5250	10600	800	245	3.4 ~ 6.2				5		22					

Remarque

Les dimensions avec marquage peuvent être utilisées pour l'installation de capots anti-poussière et de clapets.

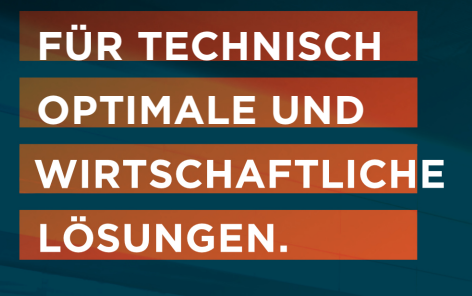
1.7. Support d'écrou à vis à billes DSG



Numéro de modèle	Écrou approprié	D	В	Н	h	Е	L	C1	C2	Р	X	W	Υ
DSG12H	SFU1204, SFS1205	22.1 24.1	50	35	17.7	-	36	8	24	36	M4	32	M4
DSG16H	SFU-1604, 1605, 1610	28	52	40	20	12	40	8	24	40	M5	38	M5
D3GIGH	SFS-1610, 1616, 1620	20	32	40	20	12	40	0	24	40	1113	30	1413
DSG20H	SFU-2004, 2005	36	68	44	22	12	40	8	24	48	M6	47	M6
D3G2UH	SFS-2010, 2020	30	00	44	22	12	40	0	24	40	1410	4/	MO
DSG25H	SFU-2504, 2505, 2510	40	66	48	24	13	40	8	24	50	М6	51	M6
DSG25H	SFS-2505, 2510, 2520	40	00	48	24	13	40	8	24	50	MID	51	IMO
DSG32H	SFU-3204, 3205, 3210	50	86	62	31	17	40	8	24	66	M8	65	M8
D3G32H	SFS-3205, 3210, 3220, 3232	30	00	02	31	17	40	0	24	00	1410	65	1410
DSG40H	SFU-4005, 4010,	63	100	80	40	/	59	9.5	40	78	M8	78	M8
D3040H	SFS-4005, 4010, 4020, 4040	63	100	80	40	/	59	9.5	40	70	1410	70	1410
DSG50H	SFU-5005, 5010	75	120	90	45	/	60	10	40	100	M10	93	M10
DSGSUH	SFS-5020, 5050	/5	120	90	45	/	60	10	40	100	MIO	93	MIO
DSG1616	SFE/SFY-1616	32	55	40	20	6	27	6	15	46	M4	42	M4
DSG2020	SFE/SFY-2020	39	66	47	23.5	7.5	35	7.5	20	56	M5	50	M5
DSG2525	SFE/SFY-2525	47	80	55	27.5	10	34	7	20	68	M6	60	M6
DSG3232	SFE/SFY-3232	58	95	66	33	10	55	10	35	82	M8	74	M8

Herausgeber und Gestaltung: MTO & Co AG Copyright© MTO & Co AG

Nachdruck, auch auszugsweise, bei Quellenangabe und Zusendung eines Belegexemplars nur nach Absprache mit MTO& Co.gestattet. Die Angaben in dieser Technischen Schrift basieren auf unseren allgemeinen Erfahrungen und Kenntnissen bei Drucklegung und sollen dem technisch erfahrenen Leser Hinweise für mögliche Anwendungen geben. Alle Angaben sind ohne Gewähr. Die Produktinformationen beinhalten jedoch keine Zusicherung von Eigenschaften oder Garantie der Eignung des Produkts für den Einzelfall. Sie entbinden den Anwender nicht davon, die Anwendung des ausgewählten Produkts vorher im Versuchzu testen. Wir empfehlen ein individuelles Beratungsgesprächund stellen auf Wunsch und nach Möglichkeit auch gern Muster für Tests zur Verfügung. MTOProdukte werden kontinuierlich weiterentwickelt. Deshalb behält sich MTO& CO. AGdas Recht vor, alle technischen Daten in dieser Druckschrift jederzeit und ohne Vorankündigung zu ändern.



MINIATURLAGER KUGEL- UND ROLLENLAGER GEHÄUSELAGER GELENKLAGER UND GELENKKÖPFE LINEARTECHNIK **GLEITLAGER**



HAUPTSITZ SCHWEIZ MTO & CO. AG **NIEDERLASSUNG** ÖSTERREICH MTO UNION GMBH

Grabenstrasse 9

Münkafeld 7b

DICHTUNGEN

KUGELN, ROLLEN, NADELN